

# TECHNIKA CIEPLNA

Czasopismo Stowarzyszenia Dozoru Kotłów w Warszawie.

Oficjalny Organ Polskiego Komitetu Normalizacyjnego dla Spraw Kotłowych.

Redaktor: Inż. techn. JAN KOMARNICKI.

Wydawca: Stowarzyszenie Dozoru Kotłów w Warszawie.

REDAKCJA i ADMINISTRACJA: Warszawa, Chmielna 2, m. 6. Tel. 275-45.

GODZINY BIUROWE: Redakcji—piątki, od 18 do 20, Administracji—codziennie, od 10 do 15.

TREŚĆ: Prof. W. Chrzanowski. Nowoczesne turbiny parowe. — H. S. Wybuch naczynia w łaźni. — KRONIKA TECHNICZNA. — L. B. Podgrzewacz powietrza dla palenisk kotłowych. — POLEMKA. — Prof. L. Eberman i inż. W. Pac. W sprawie artykułu p. t. Kilka uwag o wyborze silników Diesel'a. — PRZEGLĄD WYTWÓRCZO CI. — M. R. Przewodnictwo cieplne w ekonomizerach żebrowych. — SPROSTOWANIA. — Do art. inż. J. Obrąpalskiego p. t. Kilka uwag w sprawie elektryfikacji Polski.

SOMMAIRE: W. Chrzanowski, proff. Las turbines à vapeur d'aujourd'hui. — H. S. Une explosion du récipient à vapeur. — POLEMQUE. — L. Eberman, proff. et W. Pac ing. à propos de l'article sur la choix des générateurs Diesel. — NOUVEAUX PROCÉDÉS, — M. R. La conductivité de la chaleur dans les économiseurs aux tubes à ailettes. — ERRATA. — A propos de l'article de M. J. Obrąpalski, ing. concernant quelques remarques sur l'électrification en Pologne.

Prof. Dr. inż. WIESŁAW CHRZANOWSKI.

## NOWOCZESNE TURBINY PAROWE.

(por. *Technika Ciepłna*, 1929, str. 24)

### IV. Turbiny pracujące z pobieraniem pary.

**T**urbiny powyższego rodzaju stosuje się w tych wypadkach, w których para wylotowa nie może być całkowicie wyzyskana do celów fabrykacyjnych, lub też w których zapotrzebowana ilość pary wylotowej jest zmienna i nie pokrywa się w czasie z obciążeniem silnika; — miejsce pobierania pary z turbiny zależy od wysokości ciśnienia pary dolotowej i pary pobieranej. Turbiny z pobieraniem pary pracują przeważnie z kondensacją, choć w niektórych wypadkach także z przeciwpężnością, jeśli do celów fabrykacyjnych potrzebna jest para o dwóch różnych ciśnieniach, a para wytwarzająca moc może być całkowicie zużyta do fabrykacji.

*Turbiny z pobieraniem pary stosuje się ze względu na zmniejszenie kosztów inwestycyjnych;* — każdy turbogenerator tego rodzaju zastępuje bowiem dwa agregaty, mianowicie jeśli pracuje z kondensacją, — turbinę przeciwpężną i kondensacyjną, — a jeśli pracuje z przeciwpężnością, to zastępuje dwa turbogeneratory przeciwpężne o ciśnieniu wylotowym różnej wysokości. Turbiny pracujące z pobieraniem pary o wyższym ciśnieniu powinny być zasilane parą dolotową o znacznie wyższym ciśnieniu niż turbiny kondensacyjne, aby otrzymać najkorzystniejsze wyniki rentowności siłowni. Nie posiadają one jednak tak wysokiej sprawności jak turbiny kondensacyjne dla jednakowych warunków pracy, ponieważ część wysokopężna musi

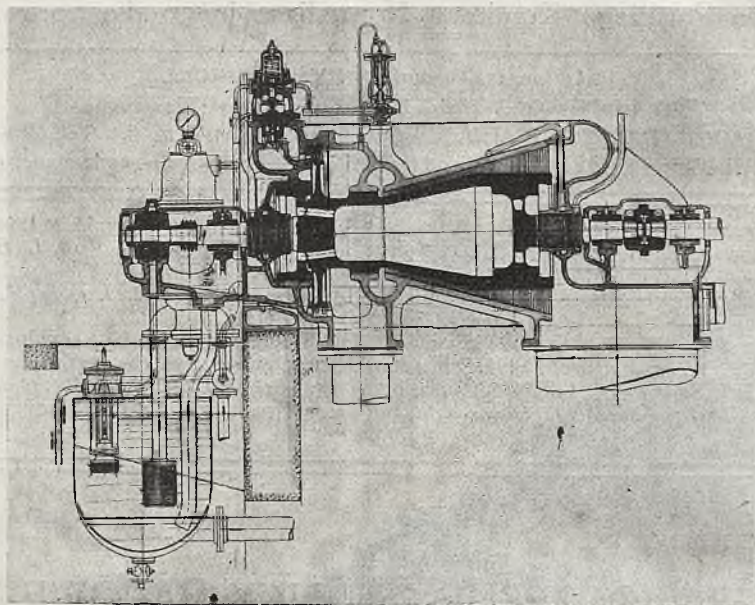
być zbudowana dla przepływu największej ilości pobieranej pary i wytworzenia normalnej mocy silnika, a część niskopężna — dla wytworzenia normalnej mocy silnika przy najmniejszej ilości pobieranej pary; oprócz tego zachodzą straty w organach regulacyjnych części niskopężnej. Im mniejsze są różnice ilości pobieranej pary, tem wyższa może być sprawność turbiny. Z tej przyczyny zamawiający turbinę pracującą z pobieraniem pary powinien starannie zbadać przewidywane warunki pracy, a nie stawiać lekko-myślnie warunku, że pobieranie pary wynosi o do  $x$  kg/h. O ile możliwości należy pobieranie o kg wykluczyć, aby umożliwić konstruktorowe budowę turbiny o wyższej sprawności i aby zmniejszyć koszty budowy i napędu urządzenia kondensacyjnego. Naogół turbina zbudowana dla pobierania pary zużywa, pracując wyłącznie na kondensację, około 5% do 8% więcej pary od normalnej turbiny kondensacyjnej. Budowa turbin pracujących z pobieraniem pary jest bardzo różnorodna. Są one wykonywane wyłącznie jako turbiny osiowe, jedno — i kilkokadłubowe, bo turbin promieniowych Ljungstroema nie można do tego celu odpowiednio zmienić. Chcąc przy pobieraniu pary zastosować system *Ljungstroema*, trzeba ustawić dwa agregaty, jeden przeciwpężny (por. rys. 73), zaopatrzony w regulację według zasad rys. 81, a drugi kondensacyjny (rys. 21). Wykonanie takie, posiadające zamiast jednego generatora elektrycznego o dużej sprawności cztery generatory małe, jest oczywiście o około



35% kosztowniejsze, a pewne oszczędności, które uzyskuje się na paliwie, nie są jednak decydujące. W niektórych wypadkach układ tego rodzaju może być wskazany, mianowicie jeśli chodzi o zapewnienie mocy zapasowej.

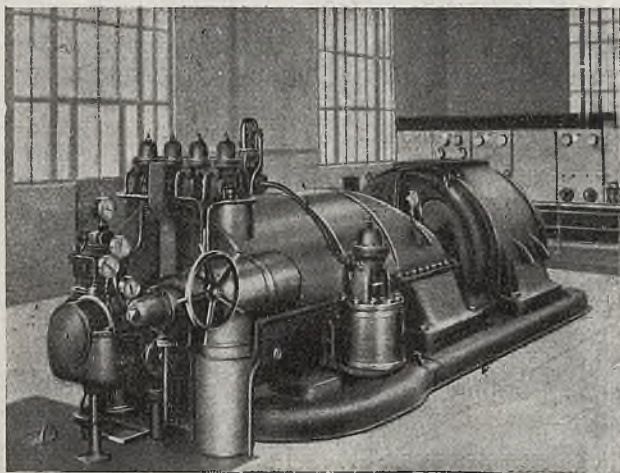
naogół nie znajdują zastosowania jako silniki o wielkiej mocy.

Najprostsza turbina z pobieraniem pary składa się z dwóch wirników Curtis'a; — pobieranie pary odbywa się za pierwszym kołem. Sil-



Rys. 88. Turbina kondensacyjna z pobieraniem pary fabryki Brown-Boveri.

Osiowe turbiny jednokadłubowe z pobieraniem pary buduje się przeważnie dla ciśnień do 22 atn, 375° C i średnich mocy, natomiast dla



Rys. 89. Turbina z pobieraniem pary fabryki Brown-Boveri.

wyższych ciśnień i temperatur oraz większych mocy buduje się dwukadłubowe turbiny; — silniki trójkadłubowe są bardzo rzadko wykonywane (tylko przy bardzo wysokim ciśnieniu pary dolotowej), ponieważ turbiny z pobieraniem pary

nik taki nie posiada wysokiej sprawności, — zużycie pary jest duże, również duże jest zdzieranie się łopatek, lecz małe są koszty jego budowy. Chcąc osiągnąć wyższą sprawność, trzeba budować turbiny wielostopniowe. Wytwórnia *Brown-Boveri* buduje jednokadłubowe turbiny kondensacyjne z pobieraniem pary według rys. 88. Pobieranie pary odbywa się za kołem Curtis'a, a niskoprężna część kondensacyjna jest wielostopniową reakcyjną. Ze względu na niską sprawność koła Curtis'a powyższy ustrój jest odpowiedni tylko dla ciśnienia dolotowego poniżej 20 atn i dość wysokiego ciśnienia pobieranej pary, zwłaszcza że część niskoprężna jest kosztowna, a zatem rentuje się tylko wówczas, gdy duży procent pary w niej pracuje. Część wysokoprężna jest wyposażona w regulację ilościowo-jakościową zapomocą czterech zaworów regulacyjnych, jak to także widoczne z rys. 89, natomiast część niskoprężna posiada regulację jakościową przez dławienie pary w zależności od regulatora ciśnienia, ustawionego na kadłubie turbiny w środku jego długości. Jeden lub przeważnie dwa zawory regulacyjne części niskoprężnej są ustawione obok kadłuba turbiny, której sprawność przy zmiennym obciążeniu i zmiennej ilości pobieranej pary mogłaby być powiększona przez dodanie na początku części niskoprężnej jednego koła akcyjnego, umożliwiającego zastosowanie regulacji ilościowo-jakościowej.

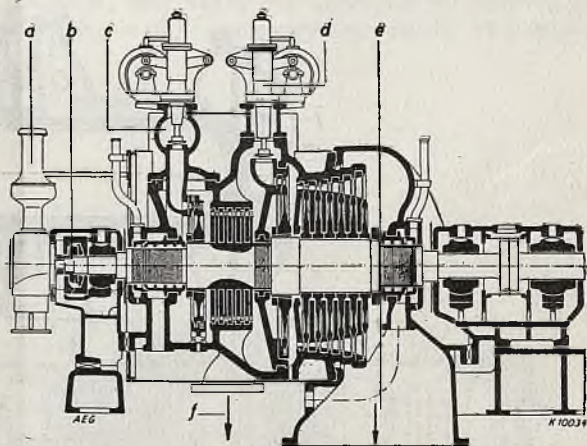
Wytwórnie *Tow. A. E. G., Pierwsza Brneń-*



ska Fabryka, Skoda, Escher - Wyss stosują w swych jednokadłubowych turbinach z pobieraniem pary system akcyjny, jedynie w wypadkach, w których część niskoprężna ma posiadać dużą sprawność, pierwsze dwie fabryki budują ją jako koło akcyjne o jednym lub dwóch stopniach prędkości w połączeniu z reakcyjną częścią. Rys. 90 przedstawia jednokadłubową kondensacyjną turbinę z pobieraniem pary Tow. A. E. G. Na rysunku tym oznacza *c* regulację ilościowo-jakościową części wysokoprężnej w zależności od regulatora obrotów *a*, *d* oznacza regulację ilościowo-jakościową części niskoprężnej w zależności od regulatora ciśnienia i regulatora obrotów, — *f* — odpływ pary pobieranej, — *e* — odpływ pary do kondensatora, — *b* — klockowe łożo stopowe. Część wysokoprężna turbiny tworzy jedno koło Curtis'a i kilka całkowicie zasilanych kół akcyjnych, część niskoprężną natomiast jedno częściowo zasilane koło akcyjne i kilka całkowicie zasilanych kół akcyjnych. Turbina powyższego rodzaju odznacza się nawet przy ciśnieniu dolotowym około 22 *atn* i 375° C dużą niezawodnością biegu i posiada dość wysoką sprawność części wysokoprężnej, a sprawność części niskoprężnej może być powiększona przez zastąpienie wirników akcyjnych systemem reakcyjnym (rys. 91). Ostatnia zmiana jest wtedy pożądana, gdy praca części niskoprężnej ma być przeważnie większą od pracy części wysokoprężnej, którą wykonywa się czasem, słusznie, o kształcie stożkowym. Natomiast pewne zastrzeżenia można wyrazić w stosunku do budowy turbiny według

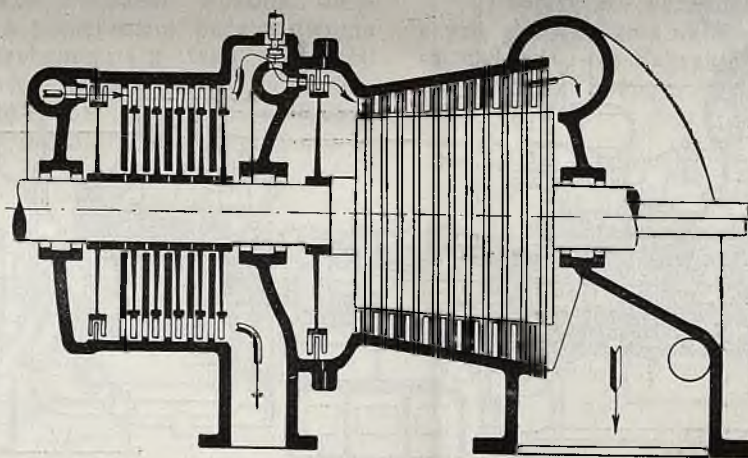
ność tego systemu wpływają straty spowodowane tłokami odciażającymi *T* i *O*.

Ze względu na stosowanie w turbinach pracujących z pobieraniem pary wyższych ciśnień i temperatur pary dolotowej, używa się w nich nawet dla mniejszych mocy około 2000 *kW* tur-



Rys. 90. Turbina kondensacyjna z pobieraniem pary A.E.G.

bin dwukadłubowych. Poszczególne wytwórnie wykonywują przeważnie typy podobne do budowanych przez nie turbin kondensacyjnych, względnie przeciwpoprężnych, starając się umieszczać pobieranie pary pomiędzy kadłubem wysoko—i niskoprężnym.



Rys. 91.

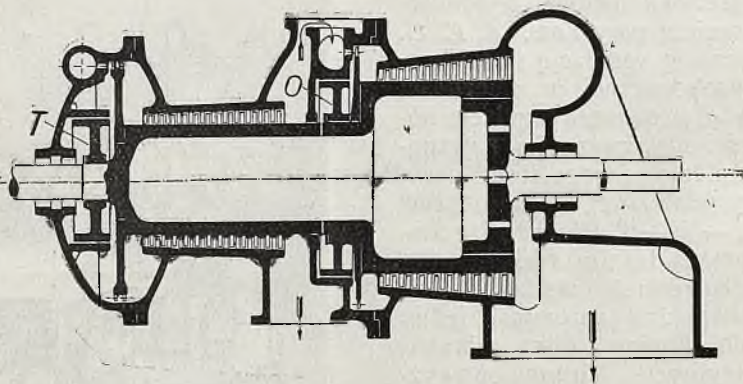
rys. 92, mianowicie w stosunku do zbyt krótkich łopatek reakcyjnych części wysokoprężnej, jeśli moc turbiny nie jest duża. Część wysokoprężna składa się tutaj bowiem z koła Curtis'a i z wielostopniowej turbiny reakcyjnej, a część niskoprężna z jednego koła akcyjnego i z wielostopniowej turbiny reakcyjnej. Ujemnie na spraw-

Normalna dwukadłubowa turbina kondensacyjna z pobieraniem pary fabryki *Brown-Boveri* jest budowana według rys. 51-go z tą różnicą, że tak wirnik wysoko—jak i niskoprężny otrzymują ze względu na duże wahania ciśnienia w silniku po jednym tłoku odciażającym, co wpływa oczywiście ujemnie na sprawność turbiny. Pobieranie



pary odbywa się pomiędzy cylindrem wysoko- i niskoprężnym. Ponieważ jednak w turbinach z pobieraniem pary przepływa przez część wysokoprężną większa ilość pary, niż w kondensacyjnych, przeto otrzymuje się w nich przeważnie już przy mocy mniejszej powyżej około 4000 kW,

bieraniem pary w wykonaniu Tow. A. E. G. Na rys. 93 widzimy taką turbinę o mocy 10,000 kW przy  $n = 3000$  obr/min dla ciśnienia dołotowego 32,5 atn i 400° C, dla ciśnienia pobieranej pary za cylindrem wysokoprężnym 4 ata i dla przeciwcisnienia za cylindrem niskoprężnym

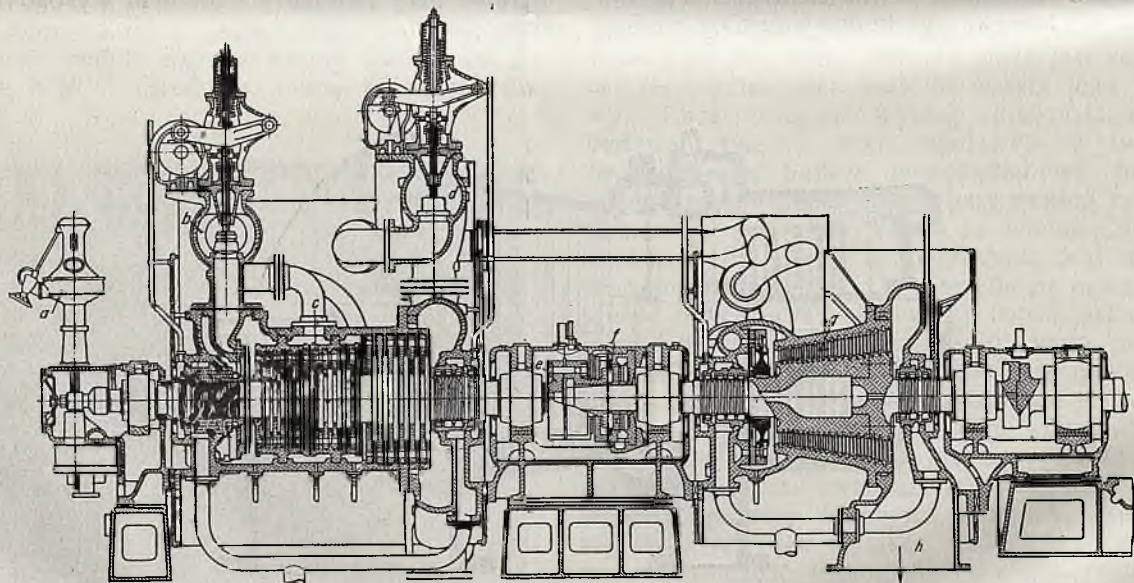


Rys. 92.

taką długość łopatek, która pozwala na zastosowanie dostatecznie dużej szczeliny pomiędzy częściami wirującymi i nieruchomymi.

Dwukadłubowe turbiny kondensacyjne z pobieraniem pary za cylindrem wysokoprężnym buduje fabryka Skody jako czysto akcyjne według

0,45 ata; para wylotowa zostaje bowiem w ilości aż do 65000 kg/h zużyta do podgrzewania wody zasilającej kotły. Część wysokoprężna *c* jest tutaj akcyjną, a część niskoprężna *g* składa się z koła Curtis'a i z wielostopniowej turbiny reakcyjnej;— *b* oznacza regulację cylindra wysokoprężnego,



Rys. 93. Dwukadłubowa turbina z pobieraniem pary A.E.G. (10000 kW).

rys. 47-go, natomiast *Pierwsza Brneńska Fabryka* wyposaża cylinder wysokoprężny w koło *U* i w kilkanaście stopni akcyjnych, czasem o średnicach stożkowo wzrastających, a cylinder niskoprężny w koło *U* i kilkanaście stopni reakcyjnych (patrz rys. 52). Bardzo podobną do ostatniego rodzaju jest budowa turbiny z po-

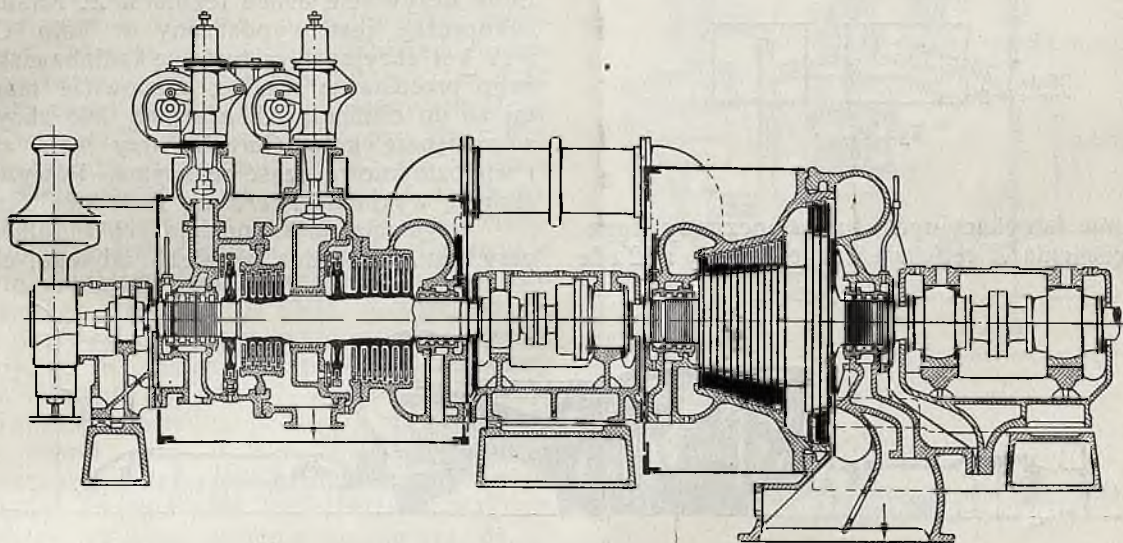
natomiast *d*—niskoprężnego. Silnik posiada tylko jedno klockowe łożo stopowe *f* i stałe sprzęgło *e*, a napęd generatora elektrycznego znajduje się po stronie niskoprężnej.

Przy pobieraniu pary o wyższym ciśnieniu Tow. A. E. G. zmienia trochę powyższą budowę, jak to wynika z rys. 94, przedstawia-



jącego turbinę o mocy 10,000 kW przy  $n = 3000 \text{ obr/min.}$  Ciśnienie pary dolotowej wynosi tutaj 25 atn, 375°C, pary pobieranej w ilości do 20 t/h—10 atn, a silnik pracuje z kondensacją. Pobieranie pary odbywa się mniej więcej w środku długości zajmowanej przez wirniki wysokoprężne wyłącznie akcyjne z pierwszymi stopniami regulacyjnymi Curtis'a; — kadłub niskoprężny posiada łopatki reakcyjne, umieszczone na bębnie.

rozłączenia sprzęgła  $S$  i nie zawsze jest wskazane ze względów na budynek. W obydwóch rysunkach zastosowano następujące oznaczenia:  $W. P. C.$  — wysokoprężny cylinder,  $N. P. C.$  — niskoprężny cylinder  $G$  i  $H$  — generatory elektryczne,  $A$  i  $B$  — regulacje, które powinny być uzależnione nie tylko od oddzielnych regulatorów obrotów, lecz także od ciśnienia pobieranej przy  $F$  pary, —  $Z$  — samoczynny zawór redukcyjny,

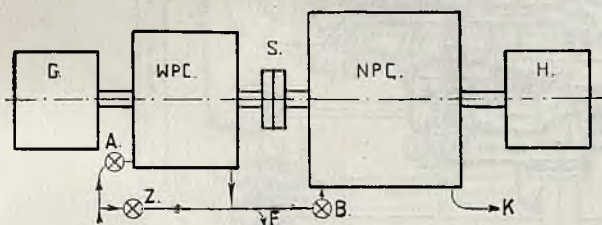


Rys. 94. Dwukadłubowa turbina z pobieraniem pary A.E.G. (10000 kW).

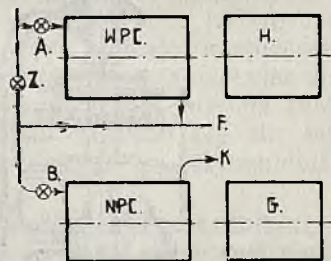
Każda z ostatnio rozważanych turbin napędzała tylko jedną prądnicę. W niektórych wypadkach jest jednakże wskazane wykonać dwukadłubową turbinę z pobieraniem pary z dwoma generatorami elektrycznymi i z taką regulacją, aby i turbogenerator wysokoprężny i niskoprężny mogły oddzielnie pracować. Wprawdzie instalacja tego rodzaju jest trochę kosztow-

t. zw. regulator ciśnienia, —  $K$  — odpływ pary do kondensatora.

Powyżej zaznaczone względy były też przyczyną zastosowania układu compound turbogeneratora w siłowni Fabryki Celulozy we Włocławku Sp. Akc. R. Saenger (rys. 97). Silnik pracuje



Rys. 95.



Rys. 96.

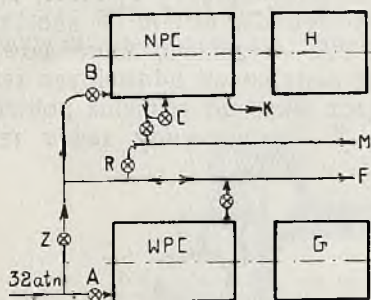
niejsza, lecz zaoszczędza się wydatków na silniki zapasowe, jeśli część mocy zapasowej można uzyskać z istniejących silników.

Zagadnienie to można rozwiązać zapomocą układu tandem (rys. 95) lub układu compound (rys. 96). Wykonanie pierwszego rodzaju jest tańsze, posiada korzystniejszy przepływ pary z cylindra wysoko- do niskoprężnego, lecz drugostronnie wymaga przy pracy jednego silnika

z ciśnieniem dolotowym 32 atn i 400°C.; za cylindrem wysokoprężnym  $W. P. C.$ , który napędza prądnicę  $G$  pobiera się parę w ilości do 12 t/h o ciśnieniu około 7 atn, która przy  $F$  płynie do wariaków. Z cylindra niskoprężnego, który napędza drugą prądnicę  $H$ , pobiera się przy  $C$  parę w ilości do 12,5 t/h o ciśnieniu około 3,5 atn, która przy  $M$  płynie do ogrzewania maszyn papierniczych. Reszta pary odpływa przy  $K$  do



kondensatora, który może skroplić do 7 t/h pary. W razie gdyby silniki dostarczały za mało pary

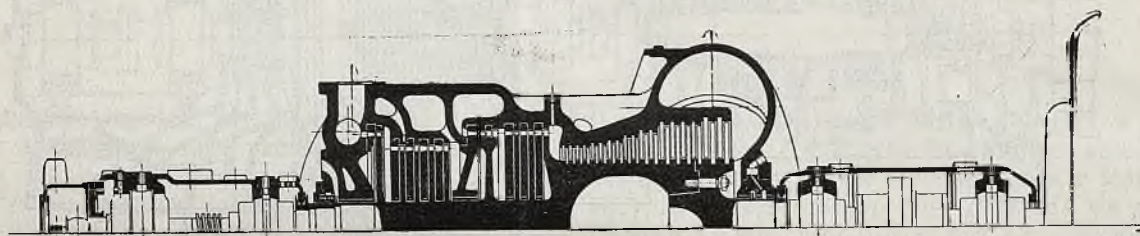


Rys. 97.

do celów fabrykacyjnych, to samoczynny regulator ciśnienia Z redukuje ciśnienie pary z 32 atn

prężnego również o czterech zaworach, a C — regulację pobierania pary o ciśnieniu 3,5 atn. Moc obydwoch turbogeneratorów ma wynosić 3.000 kW przy  $n=3000 \text{ obr/min}$ , moc oddzielnie pracującego turbogeneratorsa wysokoprężnego — 2200 kW, a moc oddzielnie pracującego turbogeneratorsa niskoprężnego 1000 kW. W razie unieruchomienia turbogeneratorsa wysokoprężnego, turbogenerator niskoprężny łącznie z istniejącym starym silnikiem może uruchamiać fabrykę przy czym oczywiście działa regulator Z. Kadłub wysokoprężny jest wyposażony w koło Curtis'a i 17 kół akcyjnych, a budowę kadłuba niskoprężnego przedstawia rys. 98, mianowicie mamy tutaj aż do ciśnienia 3,5 atn pięć kół akcyjnych, a następnie koło Curtis'a, trzy koła akcyjne i wielostopniową część reakcyjną. Powyższą instalację wykonała *Pierwsza Brzeńska Fabryka*.

Regulacja turbin pracujących z pobieraniem pary jest różnorodna, a zależy od tego, czy po-

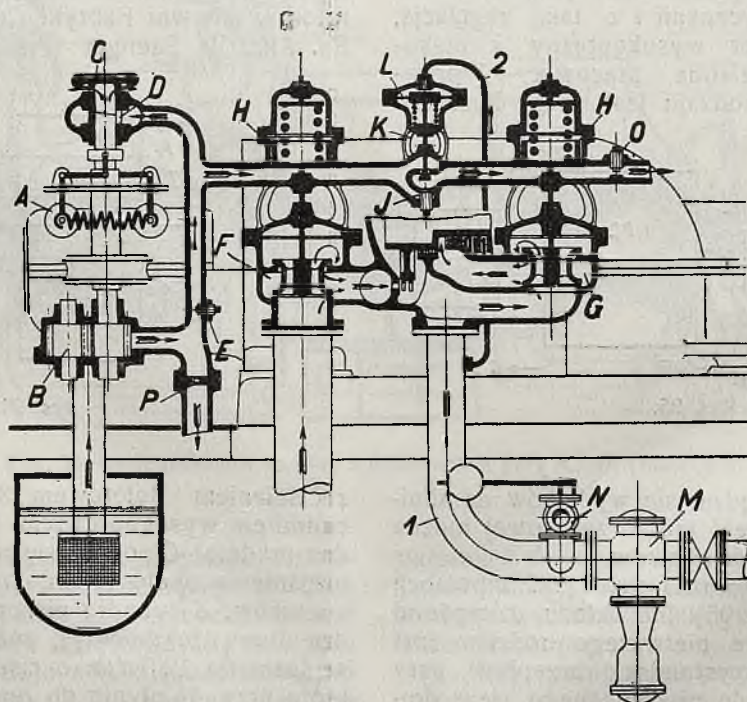


Rys. 98. Niskoprężny cylinder turbiny z pobieraniem pary Pierwszej Brzeńskiej Fabryki.

do 7 atn, a samoczynny regulator ciśnienia R ciśnienie pary z 7 atn do 3,5 atn,

A oznacza regulację cylindra wysokoprężnego o czterech zaworach, B — cylindra nisko-

biera się parę w jednym lub dwóch miejscach i czy silnik pracuje z kondensacją lub z przeciwpaprężnością. Firma *Brown-Boveri*, która w regulacjach turbin zajmuje przodujące stanowisko,



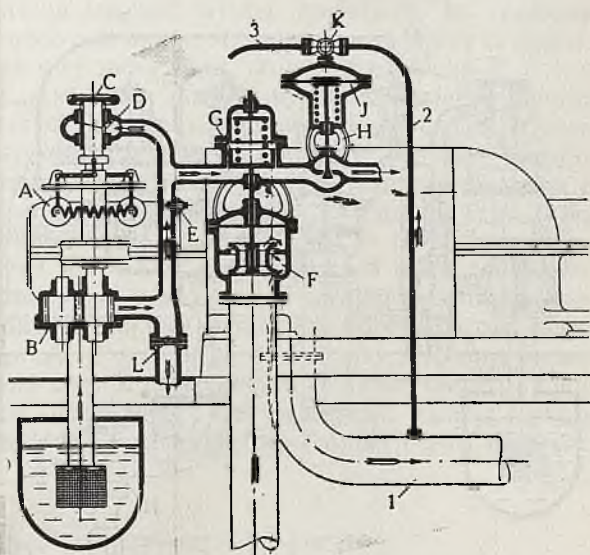
Rys. 99. Regulacja turbiny z pobieraniem pary budowy Brown-Boveri.



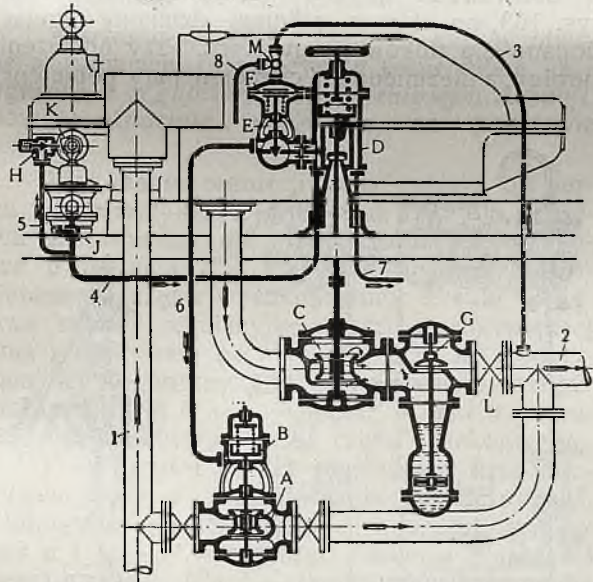
stosuje w turbinach kondensacyjnych regulację pobierania pary, której zasady podaje rys. 99. *B* oznacza tutaj pompkę olejową, *P* — odpływ oleju do smarowania łożysk, *D* — szczelinę sterowaną regulatorem obrotów *A*, *H* i *F* — regulację pary świeżej, *H* i *G* — regulację pary pobieranej, *L* — membranę, na której jedną stronę działa ciśnienie pary pobieranej, doprowadzanej rurką 2; *M* — jest zaworem zwrotnym, a zawór *J* służy do wyłączania regulacji pobierania pary.

Przy zwiększaniu się ciśnienia pary pobieranej w rurce 1, zaworek, na który działa membrana *L*, otwiera się więcej, skutkiem czego zawory regulacyjne *G* wpuszczają większą ilość pary do części niskoprężnej, a zawory regulacyjne *F* wpuszczają mniejszą ilość pary do części wysokoprężnej; — przy zmniejszeniu się ciśnienia pary pobieranej w rurce 1, regulacja działa odwrotnie. Natomiast przy zwiększeniu się obciążenia turbiny pochwa regulatora obrotów *A* postępuje w górę, skutkiem czego zmniejsza się ilość dopływającego szczeliną *D* oleju, a zwiększa się ilość dopływającej przez wysokoprężne zawory *F* pary, co w następstwie powoduje chwilowy zwrot ciśnienia w rurce 1, który wyregulowuje się w sposób poprzednio podany. Chcąc zapewnić sobie nawet przy małym obciążeniu silnika dostateczną ilość pary pobieranej, trzeba umieścić pomiędzy rurą dla pary pobieranej samoczynnie działający regulator ciśnienia według rys. 84.

obciążenia jest wyższe od ciśnienia pary fabrykacyjnej. Olej pod ciśnieniem dopływa do regulatora ciśnienia *E* rurką 4, a odpływa rurką 7, natomiast rurką 6 płynie do serwowatora *B*. Przy wyższym ciśnieniu pary pobieranej z turbiny, zawór *C*, regulowany serwowatorem *D* w zależ-



Rys. 101. Regulacja pobierania pary przez zmianę mocy fabryki Brown-Boveri.



Rys. 100. Regulacja fabryki Brown-Boveri przy małej ilości pary pobieranej.

Przy małych ilościach pary pobieranej *Brown-Boveri* unika strat przy przepływie przez niskoprężne zawory regulacyjne stosując budowę według rys. 100. Turbina posiada taką samą regulację obrotów jak każda inna turbina kondensacyjna, a parę fabrykacyjną pobiera się z kadłuba w miejscu, w którym ciśnienie jej przy około 50%

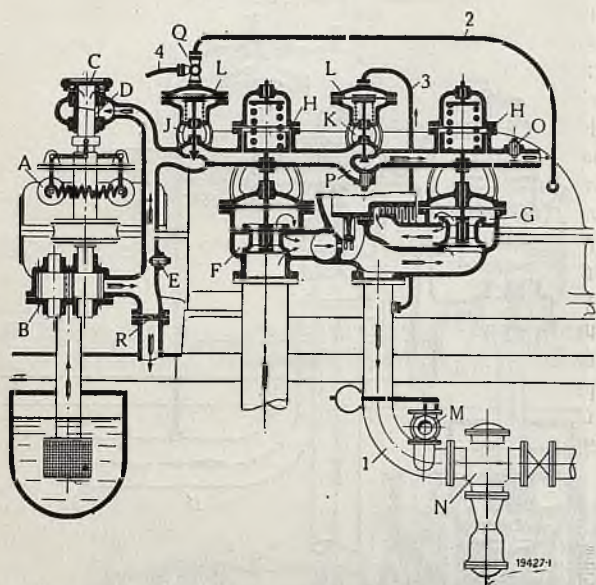
ności od membrany *F*, dławii parę na ciśnienie, jakie ma panować w rurce 2, natomiast przy niższym ciśnieniu pary pobieranej z turbiny, które otrzymuje się przy małym obciążeniu silnika, zawór *A*, regulowany serwowatorem *B* w zależności od membrany *F*, wpuszcza do rury 2 odpowiednio zdławioną parę świeżą.

W ostatnim wypadku zawór *C* jest całkowicie otwarty, a zawór zwrotny *G* zamknięty. Gdyby ostatni zawiódł, to turbogenerator nie rozbiega się, gdyż regulator bezpieczeństwa *K*, zamyka nie tylko zawory regulacyjne dla pary świeżej, lecz równocześnie otwiera zawór *H*, przez który odpływa olej służący do regulacji, skutkiem czego sprężyna w serwowatorze *D* zamyka zawór *C*.

Jeśli wytwarzana przez turbinę moc ma być uzależniona od ilości pobieranej pary, to *Brown-Boveri* stosuje regulację według rys. 101. Regulator ciśnienia *H* utrzymuje tutaj stałe ciśnienie pary pobieranej rurą 1 przez zmianę ilości pary świeżej, dopływającej do turbiny przez zawory regulacyjne. Ilość pary przepływającej przez część niskoprężną turbiny pozostaje bez zmiany, natomiast ilość pary przepływającej przez część wysokoprężną zależy od ilości pary pobieranej. Ponieważ turbogenerator tego rodzaju wytwarza moc zmienną, przeto może on tylko pracować na sieć elektryczną, w której wahania wyrównują inne silniki, a zastosowanie tej regulacji nie jest zbyt szerokie.



Regulacja *Brown-Boveri*'ego dla przeciwpężnych turbin pracujących z pobieraniem pary (rys. 102) zbudowana jest na tych samych zasadach, co regulacja tychże silników kondensacyjnych (patrz rys. 99). Regulacja pobierania pary



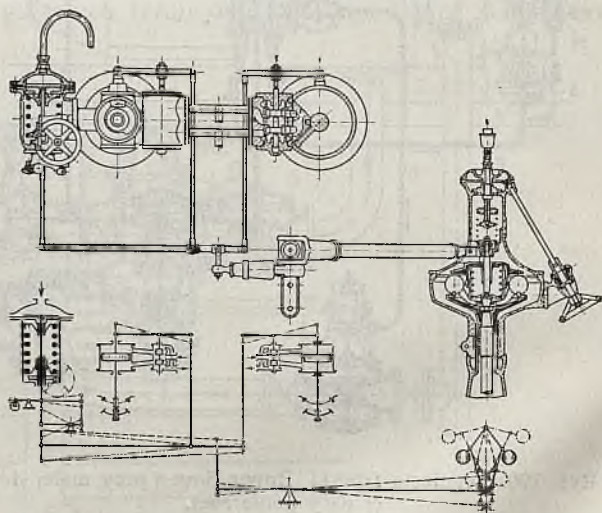
Rys. 102. Regulacja turbiny przeciwpężnej z pobieraniem pary fabryki Brown-Boveri.

odbywa się według rys. 102 również przy pomocy regulatora ciśnienia *K*, oddziałującego na regulacyjne zawory niskoprężne *G* i wysokoprężne *F*. Natomiast przeciwcisnienie pary wylotowej doprowadza się rurką 2 na jedną stronę membrany *L*, która działa na regulator ciśnienia *J* w ten sposób, że przy wzroście przeciwpężności dopuszcza on mniejszą ilość oleju pod tłoki serwowatorów *H*, wywołując przez to przemykanie się zaworów *F* i *G*, — przy zmniejszeniu się przeciwpężności działanie regulacji jest odwrotne. Regulacja stałej przeciwpężności w zależności od ilości odbieranej pary wylotowej działa w okresie, w którym turbogenerator pracuje na sieć elektryczną, której wahania obciążenia wyrównują inne silniki; — regulator obrotów jest wówczas wyłączony zapomocą kółka ręcznego *C*. Jeśli natomiast turbogenerator powyższego rodzaju pracuje oddzielnie, to trzeba zapomocą kurki *Q* wyłączyć regulację ciśnienia, a wówczas regulator obrotów *A* działa po włączeniu go w taki sam sposób, jak w każdej turbinie kondensacyjnej pracującej z pobieraniem pary (rys. 99).

Cechą charakterystyczną wszystkich regulacji turbin firmy *Brown-Boveri* (rys. 82, 83, 99, 100, 101 i 102), jest to, że nie posiadają one żadnego mechanizmu do odwodzenia, które uzyskuje się przez to, że każdemu położeniu suwaka, regulującego dopływ względnie odpływ oleju pod ciśnieniem, odpowiada w stanie ustalenia, inne położenie tłoka serwowatora. Dzięki

temu uzyskuje się nadzwyczajną prostotę urządzenia regulacyjnego, nawet przy użyciu kilku parowych zaworów regulacyjnych, bo nad poszczególne tłoki serwowatorów umieszcza się sprężyny o różnej sile, które ustalają chwilę otwarcia względnie zamknięcia każdego zaworu. Ponieważ zamykanie zaworu skutecznia sprężyna, przeto nasuwa się tutaj jednak wątpliwość, czy sprężyna zdoła to skutecznia, jeśli otwarty został zawór, który zardzewiał z powodu nieczynności, n. p. jeśli silnik z regulacją ilościowo-jakościową przez dłuższy okres czasu był mało obciążony, a następnie tak obciążony, że następny zawór regulacyjny musi działać. Regulację *Brown-Boveri*'ego można jednak wykonać także z zamykaniem zaworów olejem pod ciśnieniem, jak wynika z rys. 42. Olej pod ciśnieniem dłynie tutaj rurkami 6 pod mały, sprężyną obciążony tłoczek, który steruje dopływ oleju pod ciśnieniem, doprowadzonego rurkami 7, na jedną lub drugą stronę tłoka serwowatora połączonego z zaworem; — sprężyny znajdujące się nad tłokami serwowatorów dla zaworów *M* i *L* ustalają jedynie kolejność otwierania i zamykania się zaworów. Nie ulega wątpliwości, że powyższe urządzenie, wprawdzie kosztowniejsze od normalnego, zwiększa niezawodność działania regulacji firmy *Brown-Boveri*.

*Tow. A. E. G.* stosuje w kondensacyjnych turbinach z pobieraniem pary, regulację z obrotowymi tłokami serwowatorów według rys. 103, na którym schemat działania regulacji podano dla tłoków posuwistych. Przy odciążeniu turbiny, a niezmiennem ciśnieniu pary pobieranej,



Rys. 103. Regulacja turbiny z pobieraniem pary A. E. G.

pochwa regulatora obrotów idzie w górę, powodując ruch suwaków regulacyjnych w dół, skutkiem czego zawory parowe i wysoko — i niskoprężne, zmniejszają dopływ pary do turbiny. Natomiast przy stałym obciążeniu silnika,



a zmniejszeniu się ciśnienia pobieranej pary, mechanizm uruchamiany membraną (na rysunku po lewej stronie) postępuje z powodu przekładni w dół, powodując ruch tego samego kierunku suwaka serwowatoru dla pary niskoprężnej (na rysunku po lewej stronie) i ruch w górę suwaka serwowatoru dla pary wysokoprężnej (na rysunku po prawej stronie); — skutkiem tego parowe zawory niskoprężne zostają więcej domknięte, a wysokoprężne więcej otwarte, przez co osiąga się zwiększenie ciśnienia pary pobieranej. Przy zwiększeniu obciążenia silnika względnie ciśnienia pary pobieranej, regulacja działa odwrotnie, jak powyżej opisano.

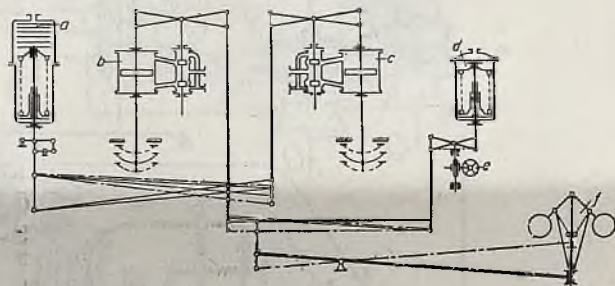
W zupełnie podobny sposób działa regulacja Tow. A. E. G., stosowana dla przeciwnieprężnych turbin pracujących z pobieraniem pary (rys. 104). Na rysunku tym znajdują się następujące oznaczenia: *a* — regulator ciśnienia wraz z przekładnią, *b* — regulacja pobierania pary (niskoprężna), *c* — regulacja wysokoprężna, *d* — regulator przeciwnieprężności, *e* — wyłącznik regulacji przeciwnieprężności, *f* — regulator obrotów. Jak ze schematu regulacji wynika, przy zmianach obciążenia silnika regulator obrotów działa na obydwie serwowatory *b* i *c*; — również przy zmianach przeciwnieprężności regulator ciśnienia *d* działa na obydwie serwowatory. Natomiast przy zmianie ciśnienia pobieranej pary, regulator ciśnienia *a* działa tylko na regulację wysokoprężną *c*, więc odmiennie jak na rys. 103.

Pierwsza Brneńska Fabryka stosuje obecnie w turbinach, pracujących z pobieraniem pary regulację z *regulatorem strumieniowym* Askani, którego działanie omówiono na podstawie rys. 87. †

Wykonanie regulacji tego rodzaju dla turbin kondensacyjnych uwidoczniła rys. 105, w którym zastosowano dla głównych części następujące oznaczenia: *C* i *S* — tłok i suwak serwowatoru dla części wysokoprężnej, *V* i *W* — parowe zawory regulacyjne części wysokoprężnej wraz z dopływem pary świeżej przy *M* i odpływami jej do turbiny przy *O* i *Q*; — *R* — regulator obrotów, *D* i *E* — tłoki, a *m* i *n* — suwaki serwowatorów dla części niskoprężnej, *X* i *Y* — parowe zawory regulacyjne wraz z dopływem pary z części wysokoprężnej przy *Z*, a odpływem jej do części niskoprężnej turbiny przy *a* i *b*; — *P* — regulator ciśnienia dla części wysokoprężnej, *K* i *L* — regulatory ciśnienia dla części niskoprężnej turbiny. Oczywiście można zastosować większą liczbą zaworów regulacyjnych, bo tłoki regulatorów ciśnienia obciążone są sprężynami o różnej sile, tak że parowe zawory regulacyjne działają kolejno. Ciśnienie pary pobieranej *p* działa na sprężynującą rurkę *A*, która ustala położenie rurki strumieniowej *B*. Regulacja działa za pomocą oleju pod ciśnieniem, który doprowadzają pompa, napędzana turbiną parową, rurką *1*, lub też przed uruchomieniem silnika pompa pomocnicza rurką *12*. Olej płynie rurką *2* do skrzynek

ki suwakowej regulacji wysokoprężnej, rurką *5* do skrzynek suwakowych regulacji niskoprężnej, rurką *3* do rurki strumieniowej *B*, a rurką *10* do skrzynki suwakowej suwaka, którego położenie ustala tłok *J* w zależności od działania rurki strumieniowej *B*.

Działanie regulacji jest następujące. Jeśli turbina zostaje więcej obciążona, to regulator obrotów *R* opada, skutkiem czego suwak *S* wpuszcza olej rurką *H* na dolną stronę tłoka *C*, a wypuszcza go z górnej strony; — z tego powodu tłok *C* postępuje w górę, zwiększając dopływ pary do części wysokoprężnej turbiny. Ostatni przyczynia się narazie do wzrostu ciśnienia *p* w miejscu pobierania pary, skutkiem czego rurka strumieniowa *B* wychyla się w lewo, wywołując przez to ruch w prawo tłoka *J* wraz z połączonym z nim suwakiem. W wyniku ostatniego przesunięcia olej pod ciśnieniem odpływa z pod tłoczków *K*, *L* i *P* rurką *4* do rurki *11*, odprowadzającej olej. Z powodu obniżenia się ciśnienia oleju pod tłoczkami *K* i *L* zwiększają parowe zawory regulacyjne *X* względnie *Y* dopływ pary do części



Rys. 104. Regulacja turbiny przeciwnieprężnej z pobieraniem pary fabryki A. E. G.

niskoprężnej turbiny, a obniżenie ciśnienia oleju pod tłoczkiem *P* powoduje przesunięcie ruchomej tulei suwakowej *U* w dół, skutkiem czego zawory wysokoprężne zmniejszają dopływ pary do turbiny. Po szeregu wahań ustala się stan równowagi w regulacji.

Przy zmniejszeniu się ciśnienia *p* pary pobieranej rurka strumieniowa *B* wychyla się w prawo, wywołując ruch w lewo tłoka *J*. Skutkiem tego dopływający rurką *10* olej pod ciśnieniem płynie przez skrzynkę suwakową do rurki *4* i wywołuje zwiększenie się ciśnienia pod tłoczkami *K*, *L* i *P*. Z tej przyczyny zmniejszają ilość dopływu pary do części niskoprężnej turbiny parowe zawory regulacyjne *X* względnie *Y*, a tłoczek *P* przesuwają w górę ruchomą tuleję *U*, przez co zawory *V* względnie *W* zwiększają dopływ pary świeżej do turbiny. Sprężyna *N* służy do podregulowywania liczby obrotów turbogeneratora.

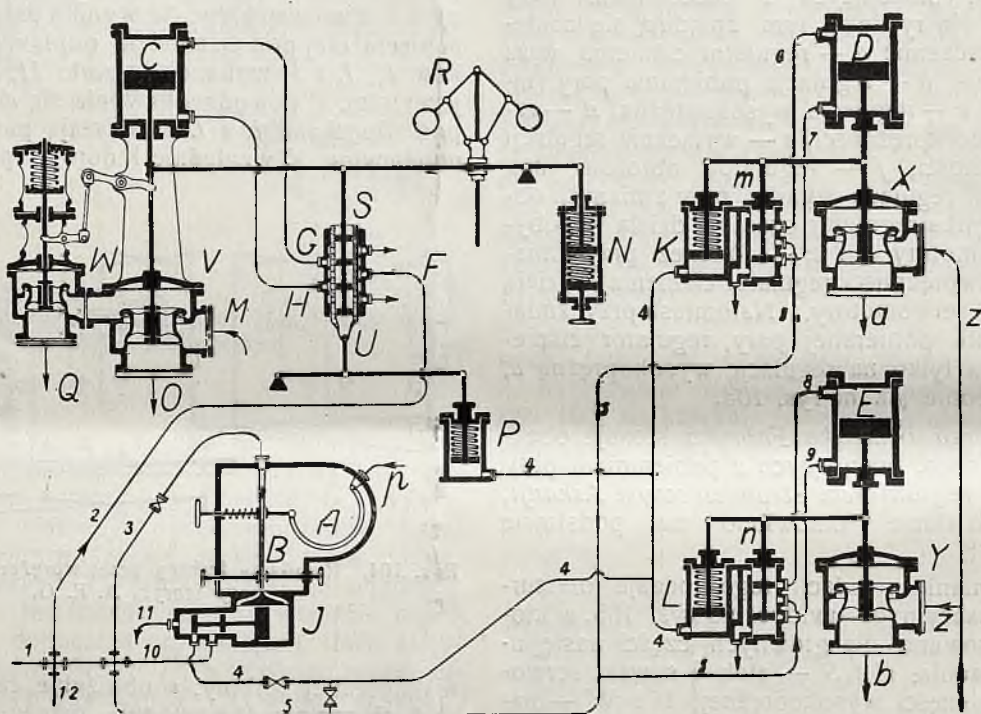
Z powyższego opisu wynika, że regulacja ciśnienia działa tutaj nie tylko na parowe zawory



regulacyjne niskoprężne, lecz także i wysoko-  
prężne, które są nie tylko otwierane, lecz i zamy-  
kane olejem pod ciśnieniem, skutkiem czego nie  
tak łatwo może nastąpić ich zahaczenie się, jak  
przy zamykaniu ich siłą sprężyny.

W turbinach przeciwpężnych, pracujących  
z pobieraniem pary, *Pierwsza Brzeńska Fabryka*  
stosuje regulację według rys. 106, która jest ana-  
logiczną do opisanej dla turbin kondensacyjnych  
z pobieraniem pary. W rys. 106 *W.P.C.* ozna-  
cza cylinder wysokoprężny, *N.P.C.* — cylin-  
der nisko-prężny turbiny; — litery *C, S, V, W,*  
*M, O, Q, R, E, m, X, Y, U, Z, a, b* i *N* oznaczają  
te same części regulacji, co w rys. 105. Ciśnie-  
nie pary pobieranej za cylindrem wysokoprężnym

prężnej turbiny. bo n. p. zmniejszenie się tegoż  
ciśnienia powoduje wychylenie rurki strumienio-  
wej *h* w prawo, skutkiem czego olej pod ciśnie-  
niem dopływa rurką *3* na dolną część tłoczka *P*,  
a odpływa z górnej jego części przesuwając go  
i rurkową tuleję suwakową *U* w górę. W wyniku  
tego olej pod ciśnieniem, dopływający przy *F*,  
płyne rurką *H* na dolną część tłoka serwomo-  
toru *C*, a odpływa rurką *G* z górnej jego części,  
skutkiem czego zawory *V* względnie *W* zwięk-  
szają ilość dopływu pary świeżej do turbiny.  
Jeśli ostatni nie wywoła zwiększenia się prze-  
ciwpężności pary wylotowej, to regulacja uzależ-  
niona od tejże nie działa, a w razie przeciwnym  
działa, jak w następnym ustępie opisano.



Rys. 105. Regulacja pobierania pary w turbinie kondensacyjnej w wykonaniu Pierwszej Brzeńskiej Fabryki.

dochodzi przez rurkę *L* do rurki sprężynującej *f*,  
która działa na rurkę strumieniową *h*, a ciśnie-  
nie pary wylotowej dochodzi przez rurkę *K* do  
rurki strumieniowej *A*, która działa na rurki stru-  
mieniowe *B* i *D*. Olej pod ciśnieniem dopływa  
do skrzynki suwakowej regulacji wysokoprężnej  
przy *F*, do rurek strumieniowych rurkami *1* i *2*,  
a do skrzynki suwakowej regulacji niskoprężnej  
przy *6*.

Regulacja przedstawiona na rys. 106 po-  
siada następujące cechy charakterystyczne:

1) regulator obrotów *R* działa zapomocą  
suwaka *S* tak samo na regulację wysokoprężnej  
części turbiny jak w regulacji przedstawionej na  
rys. 105.

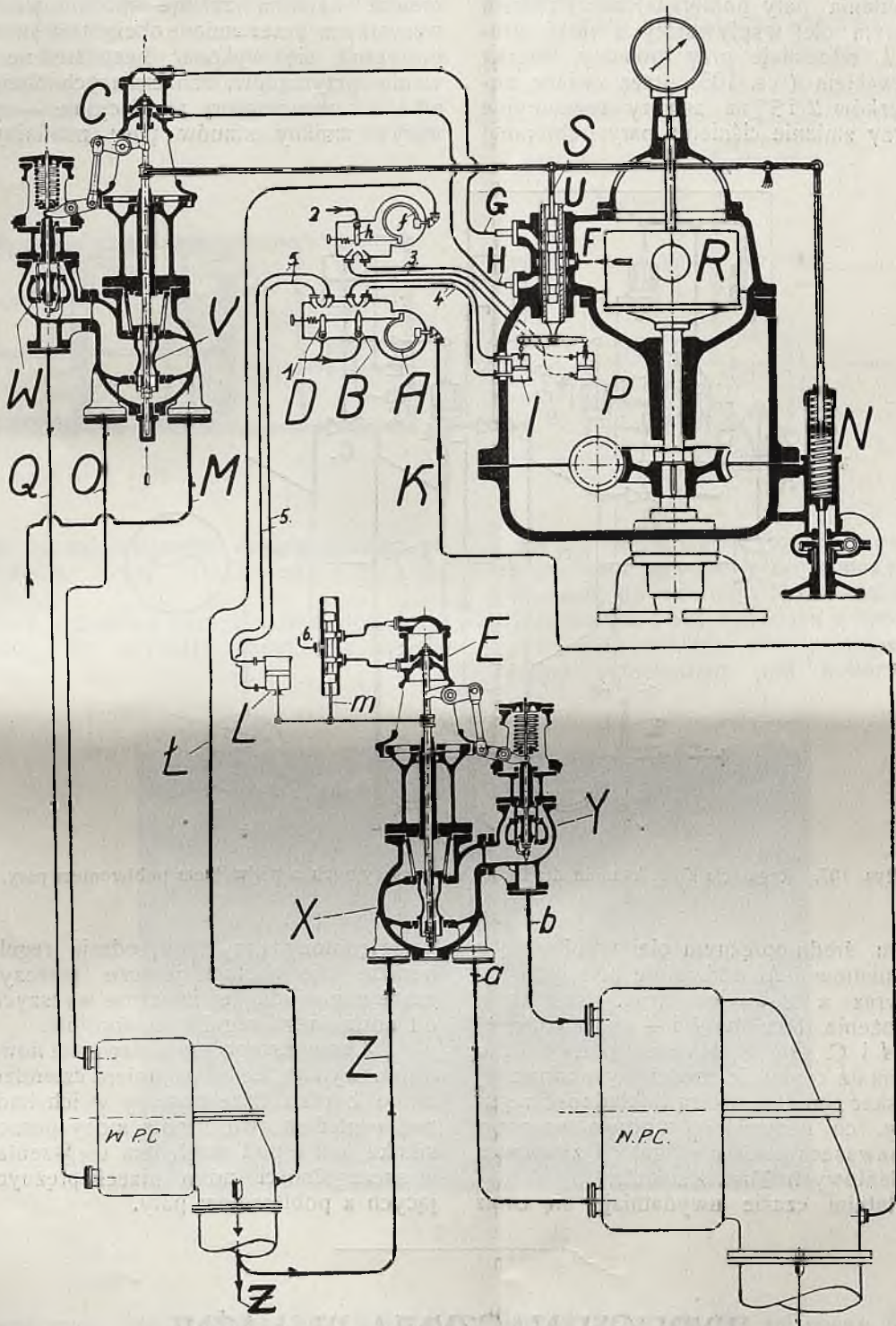
2) przy zmianie ciśnienia pary pobieranej  
przy *Z* działa tylko regulacja dla części wysoko-

3) przy zwiększeniu się przeciwpężności  
pary wylotowej rurki strumieniowe *B* i *D* wy-  
chylają się w lewo. Skutkiem tego olej płynie  
rurką *4* na górną część tłoczka *I*, a odpływa  
z dolnej jego części, wywołując ruch w dół tegoż  
tłoczka i ruchomej tulei *U*, przez co zmniejsza  
się dopływ pary świeżej do turbiny przez  
zawory *V* i *W*; jednocześnie olej płynie rurką *5*  
na dolną stronę tłoczka *L*, a odpływa z górnej  
jego części, skutkiem czego suwak *m* postępuje  
w górę, wpuszczając olej dopływający przez *6*  
na górną stronę tłoka serwomotoru *E*, a wypu-  
szczając olej z dolnej jego części, w wyniku  
czego zawory *X* i *Y* zmniejszają również dopływ  
pary z cylindra wysokoprężnego do niskopręż-  
nego. Przy zmniejszeniu się przeciwpężności  
regulacja działa odwrotnie.



4) przy równoczesnej zmianie ciśnienia pary pobieranej i przeciwpężności działają wszystkie trzy tłoczki *I*, *P* i *L*.

cyjnych pracujących z podwójnym pobieraniem pary w projekcie *Tow. Askania* (rys. 107). Tutaj mamy następujące oznaczenia: *W.P.C.*—cylinder wyso-



Rys. 106. Regulacja turbiny przeciwpężnej z pobieraniem pary Pierwszej Brzeńskiej Fabryki.

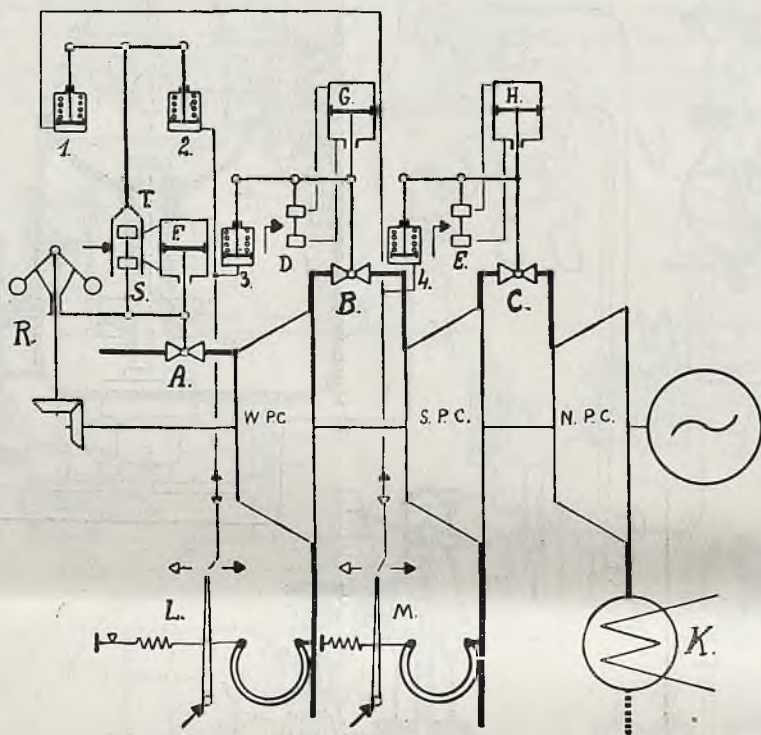
Po szczegółowym omówieniu regulacji przedstawionych na rys. 105 i 106 z łatwością będzie zrozumiałe działanie regulacji dla turbin kondensa-

kopężny, *S.P.C.* — cylinder średniopężny, *N.P.C.*—cylinder niskopężny, *F*, *G* i *H* względnie *S*, *D* i *E*—tłoki, względnie suwaki serwowatorów



wraz z parowemi zaworami regulującymi dla powyższych części turbiny, *T*—ruchoma tuleja suwakowa, *K*—kondensator. Regulator obrotów *R* działa tylko na regulację wysokoprężnej części. Natomiast przy zmianie ciśnienia pary pobieranej za cylindrem wysokoprężnym olej wypływający z rurki strumieniowej *L* oddziałuje przy pomocy tłoczka *I* wraz z suwakiem (rys. 105) przez zmianę położenia tłoczków 2 i 3 na zawory regulacyjne *A* i *B*, a przy zmianie ciśnienia pary pobieranej

dobitniej dążenia do zwiększenia czułości regulacji turbogeneratorów przez usunięcie mechanicznych regulatorów obrotów, które zaczynają dopiero działać przy zmianie liczby obrotów silnika. Ponieważ ostatnia zostaje spowodowana przede wszystkim przez zmianę obciążenia silnika, przeto projektuje się wykonać bezpośrednie oddziaływanie przyrządów, oznaczających obciążenie silnika, na serwomotory regulacyjne; — oczywiście wpływ zmiany stanów pary musiałby być też



Rys. 107. Regulacja Tow. Askania dla turbin kondensacyjnych z podwójnym pobieraniem pary.

za cylindrem średnioprężnym olej wypływający z rurki strumieniowej *M* oddziałuje przy pomocy tłoczka *I* wraz z suwakiem (rys. 105) przez zmianę położenia tłoczków *I* i *4* na zawory regulacyjne *A* i *C*. Dzięki takiemu podwójnemu oddziaływaniu na regulację części wysokoprężnej można uzyskać bardzo wielką dokładność regulacji turbiny, co oczywiście wpływa na coraz większe rozpowszechnianie się regulacji zapomocą rurek strumieniowych Tow. Askania.

W ostatnim czasie uwydatniają się coraz

uwzględniony przy tego rodzaju regulacji, która narazie nie została jeszcze urzeczywistniona, może z powodu jej znacznie wyższych kosztów od normalnego regulatora obrotów.

Z powyższego przedstawienia nowoczesnych turbin wynika, że w ostatnim czteroleciu poczyniono bardzo duże postępy w ich budowie, tak pod względem zwiększenia mocy poszczególnego silnika, jak i pod względem ulepszenia regulacji, w szczególności turbin przeciwpłynnych i pracujących z pobieraniem pary.

## WYBUCH NACZYNIA W ŁAŻNI.

1-sza eksplozja naczynia pracującego pod ciśnieniem w roku 1929.

W miasteczku Kurzęcu pow. Wilejskiego w 1921 roku gmina żydowska ustawiła w swej

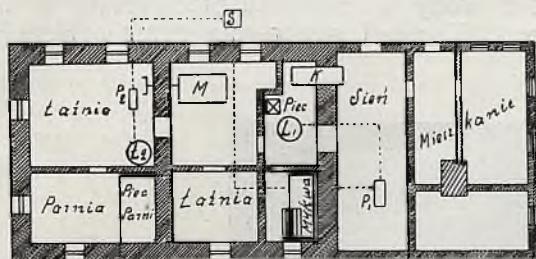
łaźni prowizoryczne naczynie do grzania wody (rys. 1).

Naczynie to było połączone rurami z miedzią i żelazną kadzią w łaźni (rys. 2); para z ko-



Naczynie nie było bezpośrednio połączone z atmosferą za pomocą otwartej rury, zanurzonej w przestrzeni wodnej, mającej nie mniej niż 100 mm średnicy i nie więcej niż 5 m wysoko-

U góry na płaszczu walczaka stwierdzono



Збірник із залізної дерев

Збірник - бачина дерев

решітка дерев

решітка дерев

Косол

1650

1955

Rys. 2.

Gmina żydowska naczyńia tego pod dozór nie zgłosiła i nie uzyskała pozwolenia na jego ustawienie.

Kocioł posiadał przedpalenisko, z którego spaliny przechodziły pod kotłem i następnie



Rys. 3.

Podłużny szew walczaka był szwejsowany. Denka, wprowadzone w płaszcz cylindryczny, były również do niego przyszejsowane.

Według słów palacza, w nocy 18.I b. r. kocioł napelniony został wodą do kurka probierczego i następnie rozpalono pod nim ogień. O godz. 5 m. 30, jak zeznawał palacz, otworzył on kurek na rurze doprowadzającej parę do ze-



laznego zbiornika do grzania wody, i zamknął zawór na rurze doprowadzającej parę do mykwy; zawór na rurze zasilającej kocioł był zamknięty. Późem odszedł od kotła.

W kilka minut później nastąpił wybuch kotła.

Walczak na całej długości u góry został rozpruty po linii, mniej więcej równoległej do osi kotła, przyczem na długości  $\frac{2}{3}$  obwodu, przy obu dennicach też rozerwany tuż za szwejssem, łączącym go z dennicami; dennice zaś odchylone na zewnątrz.

Wszystkie rury połączone z kotłem zostały wyrwane, pogieęte i odrzucone.

a na drzwiach, które najpewniej były zamknięte, są ślady uderzeń cegły.

Zaznaczyć należy, że przy wybuchu wypadku z ludźmi nie było, tylko ze względu na wczesną godzinę wypadku, gdyż ludzie zwykle przychodzili do mykwy o pół godziny później, niż miał miejsce wybuch.

Przyczyny nagromadzenia się pary, która spowodowała wybuch, należy dopatrywać się w tem, że woda w żelaznym zbiorniku i rurze doprowadzającej do niego parę (rura dochodziła prawie do dna zbiornika) zupełnie zamarzła; wysokość wody w zbiorniku przekraczała w nim 50 cm. W chwili otworzenia przez palacza za-



Rys. 4.

Obmurze i przedpalenisko zostało rozszadzone; sufit i dach na całej długości budynku nad kotłownią zostały połamane i odrzucone we wszystkie strony; zewnętrzna murowana ściana o grub. 90 cm. została na całej długości kotłowni całkowicie wywalona na zewnątrz, i wreszcie, znacznie uszkodzone wszystkie inne ściany przylegające do kotłowni.

Wybuch był jakoby tak silny, że go w całym miasteczku słyszano: pozatem obok w bóżnicy i w domach w promieniu 150 m powylaływało dużo szyb z okien.

Świadków wybuchu nie było; palacz twierdzi, że był w tym czasie przy drzwiach z sieni do mieszkania, należy jednak przypuszczać, że to nie jest prawdą, gdyż nie doznał uszkodzeń,

woru do tego zbiornika, para ujścia nie miała; kocioł zaś był już silnie grzany, gdyż parą została poprzednio nagrzana woda w mykwie; lód zaś w zbiorniku nie zdążył się roztopić.

Powyższy wypadek znów może służyć jako dowód, że kotły t. zw. „do grzania wody“, po ich zmontowaniu należałoby sprawdzać, czy ustawienie ich jest zgodne z istniejącymi przepisami, i tylko w wypadku to potwierdzającym można byłoby wydawać pozwolenie na ich uruchomienie, jako kotłów nie podlegających dozorowi.

W razie stwierdzenia niezgodności z przepisami, należałoby zmusić właścicieli do dokonania wymaganych prawem przeróbek, albo zgłosić kotły pod dozór, jako pracujące pod ciśnieniem.

H. S.



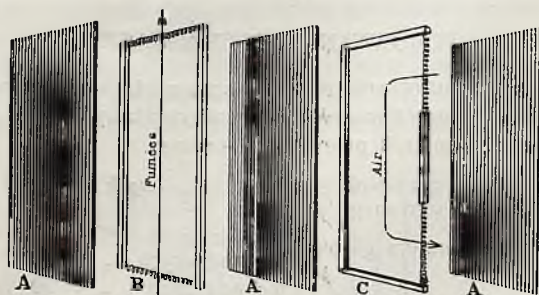
## KRONIKA TECHNICZNA.

PODGRZEWACZE POWIETRZA DLA PALENISK  
KOTŁOWYCH.<sup>1)</sup>

Ostatnimi laty ogrzewanie powietrza potrzebnego do spalania w paleniskach kotłowych znalazło bardzo duże zastosowanie. By otrzymać wysoką sprawność kotłów czyli wysokie odparowanie z jednostki powierzchni ogrzewalnej, trzeba zrealizować dobrą rekuperację ciepła, zawartego w spalinach, które mają jeszcze dość wysoką temperaturę.

Ekonomizery nie są w tym razie dostateczne, tembardziej, iż woda kotłowa obecnie bywa nagrzana do wysokiej temperatury przez parę odlotową turbin.

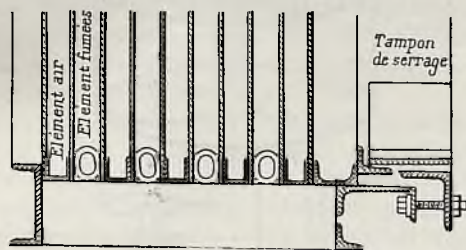
Stąd powstaje konieczność użycia podgrzewaczy powietrza, których przymioty oceniono prędko, a miano-



Rys. 1.

wicie ich prostotę i cenny wpływ ciepłego powietrza na spalanie.

Od czasów *Frambot'a*, który w 1825 r. zastosował podgrzewacz powietrza, składający się z rury, napęlnionej żelaznymi wiórkami, przez którą przepuszczano na zmianę to gazy gorące, to powietrze do ogrzania, torując drogę *Siemens'owi*, *Cowper'owi* i *Ljungstroem'owi*,—ogrzewanie powietrza dla palenisk kotłowych było zastosowane



Rys. 2.

ostatnimi laty tylko przez *James Howden'a* na morskich parowcach, gdzie nie mógł być wobec znacznej wagi użyty ekonomizery *Green'a* tak rozpowszechniony w instalacjach na lądzie.

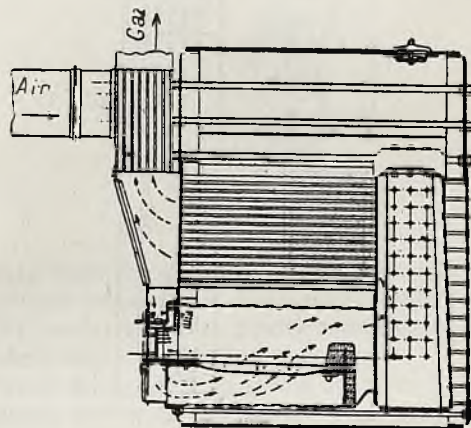
Lecz przed dziesięciu laty zjawili się przyrządy daleko lepsze, a przede wszystkim aparaty systemu *Usco* i *Thermix*.

Obecnie istniejące aparaty można podzielić na trzy grupy:

1. Podgrzewacze powietrza zapomocą równoległych blach: podgrzewacze spawane (*Combustion*); zmontowane elastycznie (*Thermix*) lub nagwintowane (*Humboldt*).

2. Podgrzewacze rurowe (*Howden*).

3. Podgrzewacze, przenoszące ciepło zapomocą ciała, pogrążanego naprzemian to w gorące gazy, to w powietrze i zwane czasem regeneratywnymi lub rotacyjnymi. (*Ljungstroem*, *Blaw-Knox*, *Perry*).

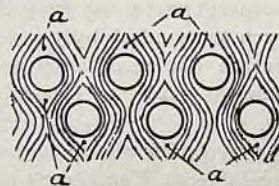


Rys. 3.

W dalszym ciągu zbadamy główne zasady działania oraz właściwości każdego z wyżej wymienionych typów aparatów.

PODGRZEWACZE POWIETRZA Z RÓWNOLEGŁYMI  
BLACHAMI.

Przyrządy tego rodzaju są złożone z jednakowych równoległych blach, pomiędzy którymi cyrkuluje powietrze i gazy. Różnią się one od siebie sposobem montowania blach.



Rys. 4.

W niektórych wypadkach używano nitowania arkuszy, lecz takie sztywne mocowanie powodowało odkształcenie przyrządu z powodu niejednakowego rozszerzania się poszczególnych jego części. Oprócz tego, w razie zużycia się jednego arkusza blachy nie można było zamienić go na inny bez zmiany całego elementu, co jest znacznie droższe.

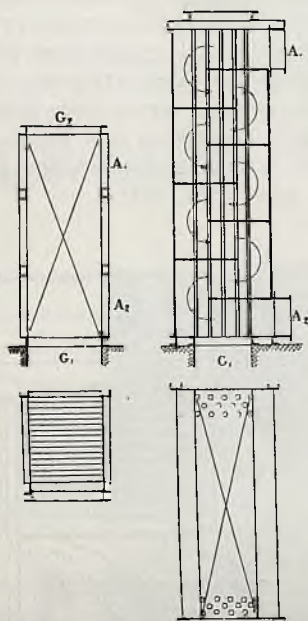
Te same braki wykazują podgrzewacze z częściami spawanymi, czego swoją drogą unika podgrzewacz *Ther-*

<sup>1)</sup> Le Génie Civil, 1928.



*mix*, złożony z samodzielnych arkuszy, przyciskanych do ram zapomocą sprężyn stalowych (rys. 1 i 2).

W Niemczech próbowano łączenia blach zapomocą gwintów, który pozwala zmieniać arkusze blachy, lecz nie daje swobodnego rozszerzania się: powstają odkształcenia zmieniające pierwotną szczelność.



Rys. 5.

Początkowo podgrzewacze z równoległymi blachami były budowane ze stałymi przelotami o niewielkiej wysokości. W tych warunkach szybkość cyrkulacji gazów nie mogła być bardzo wysoka, więc możliwa rekuperacja była ograniczona przez szybki spadek współczynnika przewodzenia wraz z szybkością. Oczywiście, jeżeli zdwoimy powierzchnię, pozostawiając i wysokość blach i przeloty bez zmiany, zdwoi się również przekrój przepływu gazów. Lecz współczynnik przewodzenia, który zmienia się znacznie, zostaje zmniejszony do dwóch trzecich swej pierwotnej wartości, co zmniejsza znacznie działanie powiększonej powierzchni. Dlatego też zaczęto używać prześwitów i wysokości o zmiennej wielkości, by utrzymywać stosowne szybkości cyrkulacji gazów we wszystkich wypadkach.

W niektórych przyrządach były potem wprowadzone ulepszenia, dotyczące dobrze obliczonego wdmuchu, lub prawidłowego podziału gazów w elementach, lub stałego oddalenia arkuszy.

Ten rodzaj przyrządów obecnie odpowiada w zupełności swemu przeznaczeniu. Konstrukcję ma prostą, mocną i ekonomiczną w obejściu zaś o ile arkusze są ruchome są znacznie łatwiejsze.

#### PODGRZEWACZ RURKOWY.

Prototypem tego rodzaju przyrządu jest podgrzewacz *James'a Howden'a* (rys. 3) i wszystkie aparaty, z wyjątkiem przyrządu *Green'a* z rurkami żeliwnymi, składają się z pęczka stalowych rurek.

Rurki są umocowane do okrągłych blach i powstająca stąd szczelność jest główną zaletą tego typu podgrzewacza.

Trudno bowiem zrealizować dostateczną szybkość obiegu bez znacznego zwiększenia wysokości rurek, które nie mogą mieć małej średnicy i z powodu kosztów, i ze względów konstrukcyjnych (około 50 mm), ani też być ustawione zbyt gęsto (umocowanie rurek), skąd wypływa konieczność znacznego rozstawienia rurek, co wpływa źle na przewodzenie ciepła. Zresztą nawet i przy najlepszym rozlokowaniu rurek część ich powierzchni pozostaje bez użytku (rys. 4).

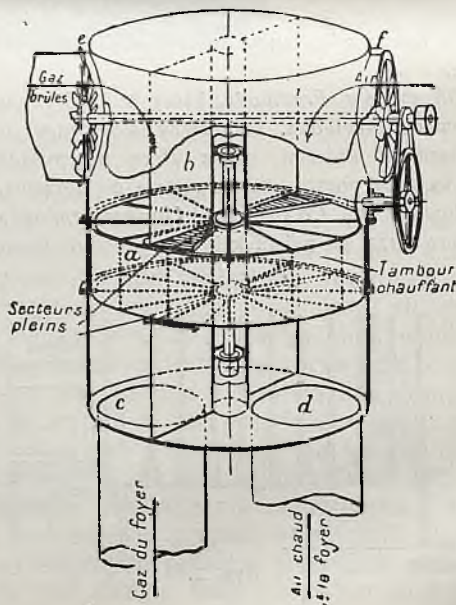
Naogół gazy przechodzą przytem przez rurki, które im nadają kierunek pionowy, powietrze zaś cyrkuluje pomiędzy rurkami.

Przy zastosowaniu bardzo długich rurek powietrze skierowane zostaje prostopadle do rurek, by otrzymać dostateczną szybkość i korzystny współczynnik przewodzenia. Powietrze wtedy winno omywać rurki kilkakrotnie, co konstrukcję utrudnia i powoduje straty. Uwzględniając przytem rozszerzanie się rurek, trzeba przewidzieć mniej lub więcej skomplikowane połączenia ich.

#### PORÓWNANIE PODGRZEWACZY.

Dla porównania podgrzewaczy z blachami równoległymi z podgrzewaczami rurkowymi stawiamy je w jednakowych warunkach pracy a mianowicie:

Waga gazów na godzinę	kg/h	20.000
„ ogrzanego powietrza	„	16.700
Temperatura gazów	wchodzących	°C.—250
	wychodzących	„ 120
„ powietrza	wchodzących	„ 20
	wychodzących	„ 127



Rys. 6.

Podgrzewacz z blachami zbudowany jest np., z blach szeroki 1,50 m i wysokich 5 m, z prześwitami po 20 mm dla gazów i 14 mm dla powietrza. Grubość blach niech wynosi 3 mm.

Podgrzewacz rurkowy będzie złożony, np., z 1000 rurek średnicy 45/50 mm i długości 7 m. By otrzymać odpowiednią szybkość powietrze musi okrążyć rurki ośm



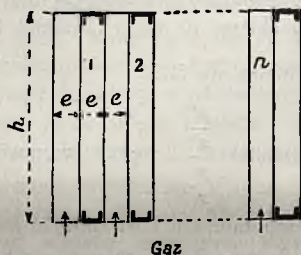
razy. Przestrzeń pomiędzy rurkami wynosi co najmniej 25 mm. Są to warunki korzystne dla podgrzewaczy rurek, które mają zazwyczaj rurki grubsze i gorzej rozlokowane.

Porównanie tych dwóch typów podgrzewaczy dane jest w poniższej tabeli:

Srednia szybkość gazów	m/sec.	4,65	3,65
" "	powietrza "	4,50	1,75
Współczynnik przewod.	cal./m <sup>2</sup>	8,55	5,3
Powierzchnia	m <sup>2</sup>	774	1.240
Opory ruchu gazów	mm.sl.wodn.	6	6
" "	powietrza "	10	10
Waga podgrzewacza	kg.	12.700	28.000
Zajmuje powierzchni w planie m.		1,50x1,75;	2,10x5,15.

Na rys. 5 podane są wymiary obu podgrzewaczy.

Aparat rurekowy ma więc powierzchnię o 60% większą niż podgrzewacz z blachami i wagę więcej niż podwójną. Miejsca zajmuje dużo, co daje się szczególnie odczuć przy demontażu, gdy trzeba przewidzieć podwójną wysokość rurek. Oprócz tego komin musi być ustawiony z boku aparatu, co jeszcze więcej zajmuje miejsca w planie. Co zaś dotyczy kosztów urządzenia, to są one po-trójne, ponieważ rurki są znacznie droższe od blach.



Rys. 7.

Różnice te pochodzą z trudności, na jakie się natrafia, by otrzymać stosowne szybkości cyrkulacyjne w podgrzewaczach rurekowych.

W powyższym przykładzie, dla zwiększenia szybkości, nie brano pod uwagę rurek dłuższych od 7 m, gdyż przy tych rurkach zjawia się trudność przy czyszczeniu i z powodu zajmowania miejsca. Nic też nie zyskanoby zmuszając powietrze do cyrkulacji, równoległej do rurek, nawet odwrotnie spowodowanoby tu straty.

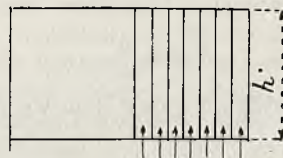
Najwyżej możnaby było zmniejszyć średnicę rurek i więcej je zbliżyć, nie zwracając uwagi na trudności konstrukcji i koszty; lecz i tu można przeciwstawić zmniejszenie prześwitów pomiędzy blachami podgrzewacza, a więc porównanie wypadnie znowu na korzyść tego ostatniego typu.

#### PODGRZEWACZE POWIETRZA ZAPOMOCA GRZEJĄCYCH MAS.

Z podgrzewaczy tego typu najwięcej jest znany ten, który zbudował w r. 1922 Fr. Ljungstroem. Składa się on z wirującego bębna, wyposażonego gęsto w cienkie blachy i podzielonego przegródką na 2 części w których cyrkulują gazy i powietrze (rys. 6).

Z początku w przyrządach tych blachy były wyposażone w dużą ilość kątowników i kształtek, co utrudniało

czyszczenie. Obecne modele mają blachy cienkie 0,5 mm grubości, naprzemian płaskie i falowane, przyczem przestrzeń między dwiema płaskimi blachami była doprowadzona do prawie 10 mm. W taki sposób otrzymuje się całą serię prostokątnych kanałów o bardzo małym przekroju, a znaczną powierzchnią styku. Przyrząd jest uzupełniony przez dwa wentylatory: ssący i tłoczący.



Rys. 8.

Przy dostatecznej szybkości obrotów i dość grubej blasze różnica temperatur w danym miejscu byłaby bardzo mała. Na pewnej wysokości blachy będą miały temperaturę średnią temperatur gazów i powietrza.

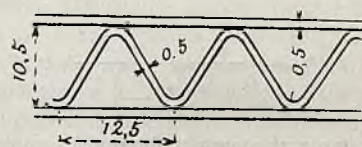
Przewodzenie ciepła od gazów do blach i od blach do powietrza byłoby takie same, jak przy podgrzewaczu z blachami.

W praktyce szybkość jest ograniczona i grubość blach doprowadzona do 0,5 mm. W tych warunkach można już zauważyć zmianę temperatury, a szczegółowe obliczenie wykazuje, iż współczynnik przewodzenia, określony według zwykłych wzorów, musi być mnożony przez 0,89.

Trzeba zaznaczyć również, iż dla uniknięcia cyrkulacji między gazami i powietrzem poprzez bęben, ten ostatni jest zagięty na jednej szóstej swej powierzchni, za pomocą sektorów  $s$  (rys. 7), co zmniejsza o tyleż sprawność aparatu.

Naogół opisywany ogrzewacz może być obliczany, jako zwykły, lecz pod warunkiem, iż powierzchnia będzie liczona tylko z jednej strony i znaleziony współczynnik będzie pomnożony przez

$$\frac{5}{6} \cdot 0,89 = 0,74.$$



Rys. 9.

Opierając się na powyższem, łatwo jest zrozumieć teoretyczne zalety tego systemu. Dla zwykłego podgrzewacza z blachami równoległymi mamy współczynnik przewodzenia ciepła, stosownie do najnowszych prac Gröber'a i Nusselt'a:

$$k = k_0 \left( \frac{p}{s} \right)^{0,21} \cdot n^{0,79},$$



gdzie:  $k_o$  = współczynnik zależny od temperatury

$\frac{p}{s}$  = stosunek parametru do powierzchni przekroju przepływania gazów

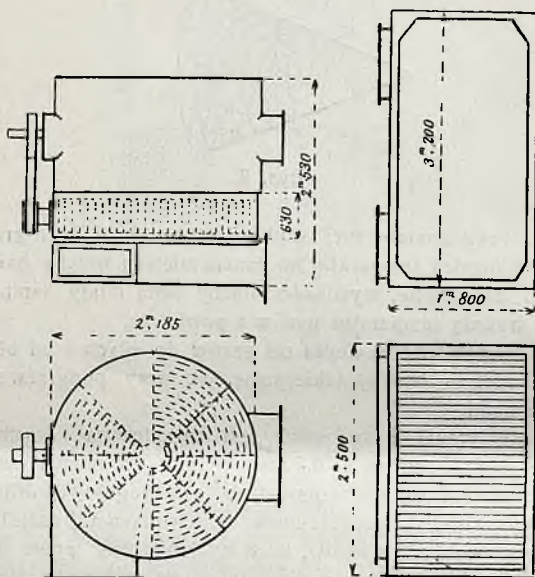
$v$  = ich średnia szybkość, przypuszczając dla prostoty, iż wartości  $\frac{p}{s}$  i  $v$  są te same dla powietrza i gazów

Ponieważ z drugiej strony powierzchnia podgrzewacza jest w odwrotnym stosunku do współczynnika, to można napisać:

$$S = \frac{q}{k} \quad (2)$$

Średnia szybkość gazów jest wynikiem szybkości całego przekroju:

$$v = \frac{Q}{s}, \quad (3)$$



Rys. 10.

i wreszcie parametr, czyli całkowita długość przekroju blach, pomnożona przez ich wysokość, jest oczywiście równa powierzchni tych blach:

$$p \cdot h = S \quad (4)$$

Cztery powyższe równania dają nam:

$$S = \frac{q^{4,76}}{k_o^{4,76} \cdot Q^{3,76}} \cdot \frac{1}{\left(\frac{p}{s}\right)^{4,76} \cdot h^{3,76}} \quad (5)$$

$$h = \frac{q}{Q \cdot k_o} \cdot \frac{v^{0,21}}{\left(\frac{p}{s}\right)^{1,21}} \quad (6)$$

Jeżeli teraz zbadamy podgrzewacz z grzejcami masami (rys. 8), gdzie gazy miałyby te same objętości i temperatury, to, biorąc pod uwagę wyżej powiedziane w stosunku do zredukowanego współczynnika i użytecznej powierzchni, moglibyśmy napisać odpowiednio równania:

$$k' = 0,89 \cdot k_o \left(\frac{p'}{s'}\right)^{0,21} \cdot \left(v'\right)^{0,79}; \quad (1')$$

$$S' = \frac{6}{5} \cdot \frac{q}{k'}; \quad (2')$$

$$v' = \frac{Q}{s'_6 \cdot s'}; \quad (3')$$

$$p' \cdot h' = S_1; \quad (4')$$

skąd:

$$S_1 = \frac{6}{5} \cdot \frac{1}{(0,89)^{4,76}} \cdot \frac{q^{4,76}}{k_o^{4,76} \cdot Q^{3,76}} \cdot \frac{1}{\left(\frac{p'}{s'}\right)^{4,76} \cdot h'^{3,6}} \quad (5')$$

$$h' = \frac{q}{Q \cdot k_o} \cdot \frac{1 \cdot v'^{0,21}}{0,89 \cdot \left(\frac{p'}{s'}\right)^{1,21}} \quad (6')$$

Porównanie dwóch tych systemów wyprowadza się bezpośrednio ze stosunku powierzchni lub wysokości:

$$\frac{S}{S'} = 0,479 \left[ \left(\frac{p'}{s'}\right)^{4,76} \right] \left[ \left(\frac{h'}{h}\right)^{3,76} \right]; \quad \frac{h}{h'} = 0,89 \left(\frac{v}{v'}\right)^{0,21} \left[ \frac{\frac{p'}{s'}}{\frac{p}{s}} \right]^{1,21}$$

Dla podgrzewacza z blachami, równoległymi, oddalonymi o 15 mm, wartość  $\frac{p}{s}$  jest prawie:

$$\frac{2}{0,015} = 133.$$

Dla podgrzewacza z masami, z prześwietem pomiędzy blachami płaskimi 10 mm i falistymi 12 mm (rys. 9), wartość  $\frac{p}{s}$  jest bliską do 580.

Wtedy stosunek  $\frac{p'}{s'}$  będzie wynosił 4,36 i przy

tych samych temperaturach i rozchodzie mamy:

- 1) Przy równych wysokościach powierzchnia podgrzewacza z blachami będzie 5,25 razy większa niż powierzchnia podgrzewacza z masami.
- 2) Przy równych powierzchniach ( $S_1 = S$ ) wysokość podgrzewacza z blachami będzie 5,3 razy większa niż podgrzewacza z masami.
- 3) Przy równych szybkościach ( $v = v'$ ), wysokość podgrzewacza z blachami będzie 5,26 razy większa niż podgrzewacza z masami, lecz wtedy jego powierzchnia prawie równa się powierzchni podgrzewacza z masami.

Z drugiej strony opór tarcia, proporcjonalny do  $\frac{p}{s} v^2 h$ , będzie, przy równych szybkościach lub powierzchniach, ten sam w obydwu wypadkach.

Wreszcie objętość blach jest prawie 4,5 razy większa dla podgrzewacza z blachami niż dla podgrzewacza z masami.

Powyższe cyfry wskazują, iż podgrzewacz z masami znacznie góruje nad podgrzewaczem z równoległymi blachami i że jest możliwość zrealizować, przy pewnych wymiarach rekuperator bardzo wysokiej wartości.

Praktyka mówi inaczej. Jeżeli wysokość blach jest pięć razy mniejsza dla podgrzewacza z masami, nie wpływa to na ostateczną wysokość aparatu, jak to widzimy na rys. 10. Przy wysokości bębna 0,63 m i blach 0,56 m cała wysokość podgrzewacza z masami będzie 2,53 m. Podgrzewacz z blachami, tej samej powierzchni, będzie miał wysokość blach 2,96 m i całkowitą wysokość 3,20 m, czyli tylko większą o 2,6%.



Koszty podgrzewacza z masami, którego konstrukcja jest znacznie trudniejsza, są prawie podwójne w porównaniu z kosztami podgrzewacza z blachami tej samej powierzchni (liczonej z jednej strony blach w obu wypadkach). Te koszty są główną przeszkodą w rozpowszechnieniu tego aparatu.

Wykres 11 daje możność zorientowania się w szybkim wzroście powierzchni przy rekuperacji, w przypuszczeniu nawet, iż współczynnik przewodzenia będzie stałym przy stopniowym zwiększeniu wysokości blach. By uzyskać np. 10 stopni na ostatecznej temperaturze gazów, gdy ta osiągnie 110°, trzeba powiększyć powierzchnię podgrzewacza o 22%. Zysk ten nie kompensuje procentów i dodatkowo włożonego kapitału, a więc można tym sposobem przewidzieć granicę ekonomii rekuperacji tem niższą, im droższym będzie metr kwadratowy użytego podgrzewacza.

I nie trzeba zbyt wysoko szacować wartości rekuperacji, gdyż, z wyjątkiem kilku bardzo dobrze urządzonych centrali, wielką rolę odgrywają jeszcze ekonomizery w rekuperacji ciepła gazów. Silna rekuperacja idzie w parze z bardzo wysoką temperaturą podgrzanego powietrza, co powoduje zniszczenie rusztów mechanicznych, topienie się popiołu, topienie się obmura paleniska przy użyciu ropy naftowej lub pyłu węglowego. Dla zabezpieczenia się można stosować coppers nadmiar powietrza, co nie jest ekonomiczne, albo chronić ściany palenisk przez rury wodne.

A więc silne rekuperacje nie są naogół wygodne, a nawet realizując je dość jest ustawić podgrzewacz o blachach równoległych, który w porównaniu z ogrzewaczem z masami zajmie może więcej miejsca i będzie miał większą powierzchnię, lecz zato i koszty jego będą mniejsze.

Trzeba mieć również na widoku, iż wygody teoretyczne podgrzewacza z masami nie wypływają z jego systemu, lecz są niejako rezultatem wysokiego stosunku  $\frac{p}{s}$  — parametru do przekroju.

Podgrzewacz z równoległymi blachami, z pięciomilimetrową przestrzenią pomiędzy nimi, da więcej niż podgrzewacz z masami; i jeżeli konstruktorzy podgrzewaczy pierwszego typu nie wybierają jeszcze takich małych prześwitów, to z powodu trudności w czyszczeniu przyrządu, które staje się wtedy prawie niemożliwym ani sposobem mechanicznym, ani strumieniem pary lub sprężonego powietrza.

W tych warunkach przewodzenie ciepła w przyrządzie spada, co spowoduje spadek wydajności aparatu. Opór jego silnie wzrasta, co spowoduje dużą stratę energii na wentylatory, a nawet przerwy w ruchu — o ile nie przewidziano przewodów okrężnych.

W podgrzewaczu z masami o zwykłych wymiarach warstwa zanieczyszczeń grubości 1 mm zmniejsza przekrój przejścia gazów i powietrza o 42% pierwotnej wielkości.

W odpowiednim podgrzewaczu z blachami równoległymi, przeciwnie, to samo zanieczyszczenie zmniejsza przejście gazów tylko o 7%, co zwiększa opór ruchu gazów tylko nieznacznie.

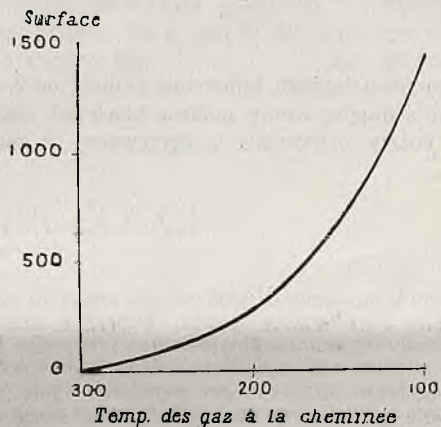
O wiele trudniejsze jest czyszczenie aparatu z masami. Przy 100 m<sup>2</sup> powierzchni ogrzewalnej mamy 10.000 małych kanałów do czyszczenia, które mają ostre kąty, gdzie osiada i mocno przywiera osad; wtedy gdy w podgrzewaczu rurkowym z tą samą powierzchnią, ilość rurek, szerszych i łatwiejszych do czyszczenia, wynosi poniżej 200,

w podgrzewaczu zaś z blachami równoległymi ilość ta nie przekracza 10.

Naogół trzeba stwierdzić szybki wzrost oporu nie tylko ruchu gazów, lecz i powietrza, ponieważ to ostatnie przechodzi po tych samych kanałach. Zdarza się również, iż wypadkowa iskra zapala ten cienki warstewkami ułożony osad, płomień podtrzymuje dopływ powietrza i powoduje odkształcenie blach i wyłączenie aparatu z ruchu.

Drugi brak praktyczny podgrzewacza z masami to zupełny brak szczelności, co wynika z zasady jego konstrukcji, wypada bowiem przewidzieć znaczną grę między obrotowym bębniem i stałymi oddzielającymi powietrze od gazów przegródkami. Ponieważ różnica ciśnień pomiędzy dwiema przegródkami jest często bardzo znaczna, straty przez przeciek są duże: do 25% strat głównych.

W aparacie, przedstawionym na rys. 12, w części A<sup>2</sup> będziemy mieć ciśnienie, równe ciśnieniu pod rusztami plus opór systemu rurek, np. 50 mm. Ciśnienie w A<sub>1</sub> będzie, ma się rozumieć, jeszcze większe, np. 60 mm. W G<sub>1</sub> będziemy mieć odwrotnie: rozrzedzenie przy wyjściu z ko-



Rys. 11.

tła, np. 35 mm, skąd w G<sub>2</sub> będzie rozrzedzenie od 40 do 50 mm. Widzimy, iż różnica ciśnień między działami powietrza i gazów może przewyższać 100 mm.

Do powyższych strat trzeba dodać jeszcze przeniesienie powietrza w komórkach bębna w momencie gdy te wstępują w sferę gazów i odwrotnie.

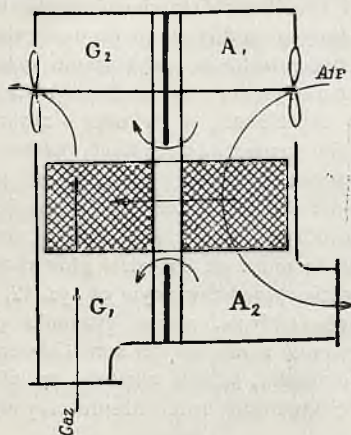
Skutki braku szczelności są fatalne: gazy oziębiają się, zużycie siły obu wentylatorów wzrasta, staje się niemożliwym utrzymanie ciepłego powietrza bez domieszki dymu, co przeszkadza jego użyciu dla celów wentylacji lub osuszania. Oziębienie gazów sprzyja kondensacji na blachach, i tu można właśnie zauważyć, iż blachy te są przeciętnie przy tej samej temperaturze; jak i blachy zwykłego podgrzewacza, lecz z przyczyny łatwej zmiany, potrzebnej do przewodzenia ciepła, temperatura ta jest niższą dla blach podgrzewacza z masami w momencie, gdy one przechodzą z powietrza do gazów.

Czasami zanieczyszczenie obu stron blach podgrzewacza uważają za potrzebne, jako ochronę przed ich studzeniem przez powietrze. Lecz trudno jest z tem się zgodzić, gdyż brud ten właśnie przeszkadza przenoszeniu ciepła.

Podgrzewacze z masami mają jeszcze tę wadę, iż wywołują ogłuszający hałas częściowo z powodu szybko obracających się wentylatorów.



Blachy tych aparatów mają grubość tylko 0,5 mm; by część ruchoma nie była zbyt ciężką, zresztą grubą blachę trudniej jest fałować. Lecz cieńsza blacha daje powód do szybkiego zużywania się tych blach w porównaniu



Rys. 12.

z blachami równoległymi, które mają grubość od 2 do 3 mm. Ponieważ z drugiej strony zamiana blach jest trudna, więc naogół koszty utrzymania podgrzewaczy z masami są większe.

Wszystkie powyższe niewygody zmuszają konstruktora do unikania podgrzewacza z masami i do używania aparatu z równoległymi blachami.

### WNIOSKI.

Coraz to więcej wchodzące w życie aparaty do podgrzewania powietrza sprowadzają się do trzech głównych typów:

- 1) Podgrzewacze powietrza z blachami równoległymi — najprostsze i najczęściej używane;
- 2) Podgrzewacze powietrza z rurkami, droższe i zajmujące więcej miejsca niż poprzednie i których użycie jest wskazane tylko tam, gdzie jest potrzebna absolutna szczelność.
- 3) Podgrzewacze powietrza z grzejącymi masami, posiadające teoretycznie wielkie zalety, lecz praktycznie trudne do zastosowania.

Ponieważ praktyka jeszcze nie wyczerpała wszystkich możliwości aparatów pierwszego typu, są one uważane, jako najwygodniejsze w chwili obecnej, wobec prostej i mocnej ich konstrukcji, oraz z powodu możliwości urzeczywistnienia wszelkiego rodzaju rekuperacji w jaknajlepszych warunkach praktycznych i ekonomicznych.

L. B.

## POLEMIKA.

(W sprawie art. inż. W. Paca p. t. *Kilka uwag o wyborze silników Diesel'a* por. *Technika Ciepła*, 1929, str. 1—2).

1.

Autor na końcu swego artykułu podnosi zaletę silnika o krzywej zużycia paliwa IV w porównaniu z silnikiem o krzywej III, twierdząc, że prawa gałąź krzywej zapewnia przeciążenie silnika bez tych obaw, jakie musbudzić poprzedni, t. j. o krzywej III. Nie mogę znaleźć wytłumaczenia dla tego twierdzenia: ponieważ prawa gałąź krzywej IV, licząc od obciążenia  $\frac{1}{4}$ , leży ponad krzywą III, to podczas całego przeciążenia zużycie paliwa przy krzywej IV jest wyższe, niż przy krzywej III. Nie widzę więc powodu, dla którego należałoby uważać krzywą IV w zakresie przeciążenia za lepszą od III. Nawet łagodniejszy wzrost pierwszej nie może być poczytany za zaletę, ponieważ nie pochodzi z mniejszego zużycia paliwa przy przeciążeniu, tylko z większego przy obciążeniu normalnym. Poza tym jednak nie przeczę, że krzywa IV wogóle jest korzystniejszą od III, ponieważ daje mniejsze zużycie przy obciążeniach niższych od normalnego.

Pozatem moim zdaniem zużycie paliwa przy przeciążeniu nie odgrywa takiej roli, jaką jej przypisuje autor. Podczas gdy silniki mogą i muszą nieraz przez czas bardzo długi albo nawet stałe pracować przy obciążeniu częściowym, to tylko bardzo niewiele silników znosi dobrze długotrwałe przeciążenie, które w takim razie właściwie na nazwę przeciążenia — w sensie ruchowym — nie zasługuje. Zazwyczaj jednak silniki Diesla znoszą bez szkody tylko krótkie i niezbyt często się powtarzające

okresy przeciążenia, wobec czego zużycie paliwa w tych okresach ma podrzędne znaczenie. Znacznie ważniejszym jest, aby silnik znosił przeciążenia bez szkody, t. j. aby nie było niebezpieczeństwa zatarcia lub pęknięcia łożków, uszkodzenia zaworów wylotowych, nadmiernego zanieczyszczenia i t. p.

Prof. L. Eberman

2.

### WYJAŚNIENIA AUTORA

W celu rozważenia cennych uwag p. Prof. Ebermana powrócę do myśli przewodniej mego artykułu, gdzie zastanawiam się nad pytaniem przemysłowca, dlaczego jego silnik w pracy zużywa średnio więcej paliwa, niż obiecywał dostawca.

Przyczynę upatruję w tem, że danemu silnikowi wypada pracować przeważnie przy takich obciążeniach, przy których zużywa on więcej ropy, niż w wypadku, o jakim mówiła oferta. Z tego też punktu widzenia rozpatruję przytoczone przykłady. Nie porównuję bynajmniej omawianych silników z punktu widzenia absolutnego zużycia przez nie ropy. To mi pozwala porównywać ze sobą pracę silników o tak różnej mocy, jak 75 KM (krzywa IV) i 360 KM (krzywa III). Obserwuję bowiem w obu tych silnikach sam tylko przebieg krzywych, t. j. odchylenia w zużyciu ropy przy przejściu od pełnego obciążenia.



Takie porównanie krzywych III i IV skłania mię do korzystniejszego sądu o krzywej IV, przyczem znów rozpatruję oba te silniki w zastosowaniu do elektrowni (gdzie przeważa niepełne obciążenie) i w warunkach fabrykacji (gdzie trzeba się liczyć z momentami większych przeciążeń).

W ofercie dostawcy zwracają zwykle specjalną uwagę tylko na zużycie ropy przy pełnym obciążeniu silnika. Nabywca więc, kupując silnik, scharakteryzowany krzywą III, spodziewa się, że silnik jego będzie zużywał 188 gr/KMe/godz. Tymczasem liczba ta odpowiada jednemu tylko punktowi krzywej i przy nieuniknionych wahanach obciążeń, wobec niepomyślnego charakteru krzywej, średnie zużycie ropy w normalnych warunkach pracy wyniesie procentowo znacznie więcej.

Podobnie, kupując Diesel, odpowiadający krzywej IV, nabywca oczekuje, że silnik ten będzie zużywał normalnie 196 gr/KMe/godz. Tymczasem przy tym charakterze krzywej przemysłowiec, pracując na niepełne obciążenie, nawet wygrywa, otrzymując średnie zużycie ropy niższe od obiecywanego. To stawiam w artykule jako największą zaletę krzywej IV, z czem się zgadza p. Prof. Eberman, chociaż wychodzi z innego niż ja założenia.

Interesuje mnie jednak jeszcze, jak się zachowają

oba te silniki, gdy będą użyte do napędu maszyn i gdy choćby chwilowo chwilowo będą musiały przenosić znaczniejsze przeciążenia. Zgadzam się w zasadzie, że w chwilach przeciążeń niema decydującego znaczenia pewne zwiększenie zużycia ropy. Dlatego właśnie nie kwestionuję i drugiej części krzywej IV. Zużycie ropy wzrasta tu stale, ale stopniowo. Wydaje mi się, że silnik ten *będzie łatwo znosił przeciążenia*, czego konieczność dla tak pracujących silników podnoszę w pierwszej części swego artykułu.

Nie mogę tego powiedzieć o krzywej III. Słowa „obaw“ użyłem tu rozmyślnie. Stromo wznosząca się prawa gałąź tej krzywej powoduje przy skokach do 114% czy 120% obciążenia nagły i znaczny wzrost zużycia paliwa, przenoszący o 10%, a nawet 15% normalne zużycie ropy. W tych wypadkach nastąpi gorsze rozpylanie i złe spalanie wobec czego można wyrazić obawę, że przy powrocie do normalnych obciążeń silnik ten nie będzie zużywał tyle ropy, co poprzednio, ale więcej. Trzeba będzie silnik odczyścić i t. d.

Praktyka potwierdza te obawy i z wymienionych względów krzywą IV w całym jej przebiegu uznaję za lepszą od krzywej III.

Inż. W. Pac

## PRZEGLĄD WYTWÓRCZOŚCI

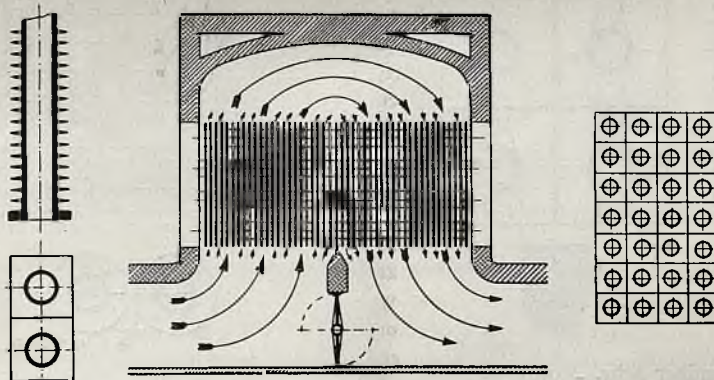
### PRZEWODNICTWO CIEPLNE W EKONOMIZERACH ŻEBROWYCH.

Przy spalaniu węgla w instalacjach kotłowych, jako też w piecach przemysłowych wszelkiego rodzaju, powstają gazy spalinowe, które uchodząc do komina zawierają w sobie jeszcze znaczne zawartości ciepła. Ten fakt mający znaczny wpływ na straty ciepłne jest nieunikniony, nato-

tego typu utrzymał się do dnia dzisiejszego z niektórymi ulepszeniami konstrukcyjnymi i wadami.

W miarę wzrostu ciśnienia roboczego, udoskonalenie ekonomizera objęło całokształt jego konstrukcji, aby odpowiadać mógł stawianym mu wysokim wymaganiom ze względu na bezpieczeństwo i niezawodność ruchu.

Do takich konstrukcyj nadających się na wysokie ciśnienia w samym podgrzewaczu budowane są pomiędzy



Rys. 1. Całkowite omywanie pow. ogrz. gazami przy ekonomizerach syst. „Stierle“.

miast przez zastosowanie odpowiednich urządzeń, można straty te zmniejszyć do minimum.

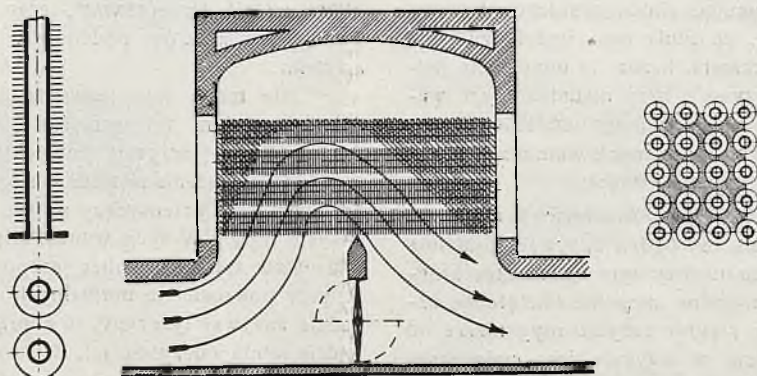
Najracjonalniejszym urządzeniem zyskującym ciepło wylotowych gazów spalinowych jest podgrzewacz wody zasilającej dla kotłów parowych lub podgrzewacz powietrza. Budowa podgrzewaczy wody sięga czasów dość dawnych, albowiem już w r. 1845 spotykano ekonomizery typu Greena w Anglii, w wykonaniu o gładkich rurach żel. anych wprasowanych do komór zbiorczych. Ekonomizer-

innymi ekonomizery żebrkowe o żebrach kwadratowych pat. „Stierle“ które zapewniają nie tylko bezpieczeństwo ruchu, ale i ekonomiczną eksploatację cieplną.

Poza układem kwadratowym żeber, spotykamy również konstrukcje ekonomizerów o żebrach kotłowych. Zasadnicza różnica pomiędzy temi typami polega na tem, że w ekonomizerach żebrkowych kwadratowych systemu „Stierle“, konstrukcja żeber jest w taki sposób ujęta, że praktycznie biorąc, ich powierzchnia ogrzewalna łączy się



w szereg równoległych, zamkniętych ścian omywanych przez gazy spalinowe, podczas gdy przy żebrach kołowych stykających się wzajemnie, pozostaje zawsze część powierzchni ogrzewalnej nie otoczona gazami. Najlepiej uwydatnia się to przy porównaniu rys. 1 i 2, z których wynika że w wypadku żeber kołowych, gazy wybierają drogę krótszą i przebywają ją krzywą najmniejszego oporu,



Rys. 2. Powstawanie martwych miejsc przy ekonomizerach o żebrach kołowych.

jako najłatwiejszą do przebycia ze względu na zmianę ciężaru właściwego i przedostają się do kominu, wobec czego w kanałach mogą powstać „martwe miejsca” (rys. 2).

Te „martwe miejsca” mogą zmniejszyć odbiór ciepła w ekonomizerze. Na zakrętach przekroje przepływu gazów mają skomplikowany kształt, co może wpłynąć na wzrost oporu przepływu, powodując zmianę siły ciągu. Poza tym przy ekonomizerach o żebrach kołowych (rys. 2) tworzą się wolne przejścia między żebrami, przez które gazy przechodzą ze zwiększoną szybkością tworząc t. zw. „Pasy” co zresztą na rys. 3a (rys. 3b) wskazuje wykres szybkości równomiernie rozłożonej w ekonomizerze o żebrach kwadratowych np. syst. „Stierle”. Dane te używane przy pomiarach doświadczalnych 1) potwierdzają najzupełniej rozważanie analityczne poniżej wyszczegół-

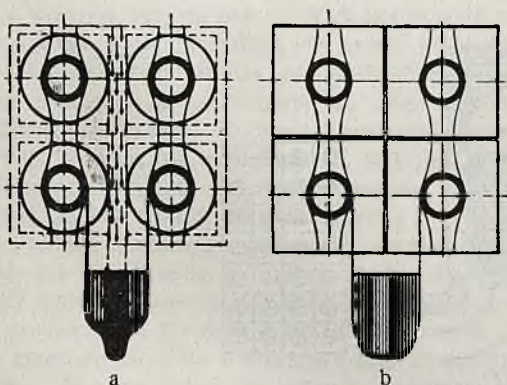
Gdzie oznaczono:

$H$  — powierzchnia ogrzewalna omywana przez gazy w  $m^2$ ,  
 $W$  — ilość przepływającej wody w  $kg/godz$ ,  
 $t_{g1}, t_{g2}, t_{w1}, t_{w2}$  — temperatury gazów i wody na początku i na końcu powierzchni ogrzewalnej,  
 $Q$  — ciepło przeniesione,

$\Delta t$  — temperatura średnia,

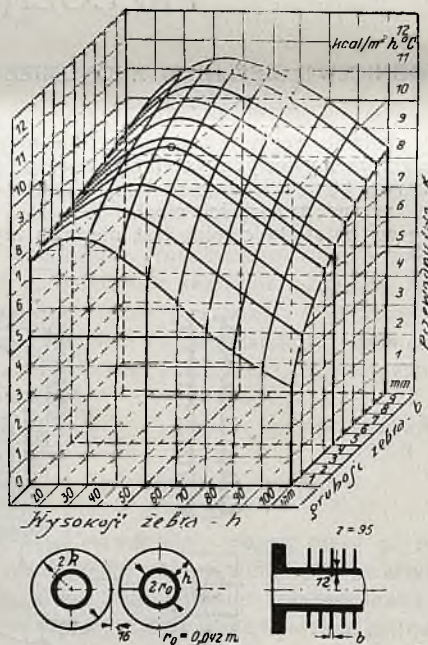
$K$  — przewodnictwo cieplne w  $kal. (m^2 h)$

Wzór (1) uwzględnia bieg przeciwprowodowy wody i gazów.



Rys. 3a. Ekonomizer żebr. „kołowy”.

Rys. 3b. Ekonomizer żebr. „kwadratowy” systemu „Stierle”.



Rys. 4. Wpływ wymiarów żebra na przewodnictwo cieplne  $K$  przy ekonomizerach o żebrach kołowych.

nione, 2) oparte są na wyliczeniach współczynnika przewodnictwa cieplnego.

W myśl tych rozważań, powierzchnię ogrzewalną ekonomizerów oblicza się wg. ogólnie znanego wzoru:

$$H = \frac{W (t_{w2} - t_{w1})}{\left( \frac{t_{g1} + t_{g2}}{2} - \frac{t_{w1} + t_{w2}}{2} \right) \cdot K} = \frac{Q}{K \cdot \Delta t} \quad (1)$$

Podstawiając do wzoru (1) wartości dla  $Q$  uzyskane dla żeber kołowych i kwadratowych, otrzymamy:

dla żeber kołowych:

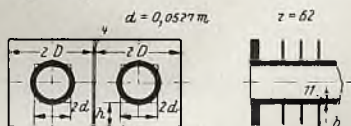
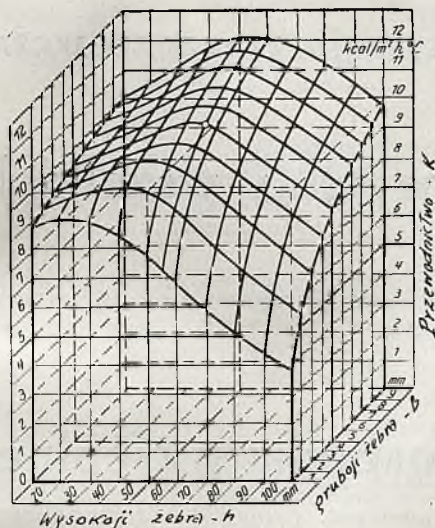
$$k_1 = \frac{t_0}{\Delta t} \left( \frac{2 \pi z b \lambda \cdot \zeta \cdot \Phi + \frac{F_1}{H} \cdot \xi \cdot \alpha_g}{H} \right)$$



dla żeber kwadratowych:

$$k_2 = \frac{t_0}{\Delta t} \left( \frac{8 z b \lambda}{H} \cdot \zeta \cdot \Phi + \frac{F_1}{H} \cdot \xi \cdot \alpha_g \right)$$

gdzie  $t_0$  — różnica temperatur między temp. gazów i podnożem zebra,



Rys. 5. Wpływ wymiarów żeber na przewodnictwo cieplne  $K$  przy ekonomizerach o żebrach kwadratowych.

- $z$  — liczba żeber jednego elementu,  
 $b$  — średnia grubość zebra,  
 $\lambda$  — współczynnik przewodzenia ścian,  
 $\zeta$  — powierzchnia żeber omywana gazami,  
 $\xi$  — powierzchnia rury omywana gazami,  
 $F_1$  — zewnętrzna powierzchnia rury żebrowej pomiędzy żebrami,

- współczynnik przejścia ciepła i gazów na ściankę zewnętrzną,  
 $\Phi$  — współczynnik Schmidt'a.)

Z powyższych wzorów wynika, że przy jednakowych poszczególnych wielkościach, otrzymuje się przy kwadratowych żebrach większe przewodnictwo cieplne aniżeli przy żebrach kołowych.

Najlepiej zjawisko scharakteryzują liczby, gdy bowiem przewodnictwo między żelazem i wodą równe jest około 2,000, to przewodnictwo gazów na zewnętrzną powierzchnię wynosi ok. 20. Kwadratowe zebra tworzą więc tutaj wyrównanie pomiędzy powierzchniami ogrzewalnymi i dzięki wydatnemu powiększeniu powierzchni odbiorczej ciepła przez wprowadzenie kwadratowego układu tych żeber, wzrasta współczynnik przewodnictwa w odniesieniu do rury gładkiej do wartości około 200.

Pomiary nad wpływem szybkości gazów i wody na wielkość przewodnictwa cieplnego, doprowadziły do wniosku, że podczas gdy różnica temperatur  $\Delta t$  oraz szybkość wody wywierają nieznaczny wpływ na  $K$ , to jednakowoż szybkość gazów wpływa tutaj wydatnie na tę wielkość przewodnictwa. Biorąc zaś pod uwagę że ustalenie wysokiej szybkości gazów wpływa na opory ciągu, zaś wzrost szybkości przepływu wody na spadek ciśnienia w rurach, spotykamy w ekonomizerach żebrowych pat. „Stierle” rozwiązanie szeregowe przy połączeniu poszczególnych ur. W ten sposób uzyskuje się największe szybkości przepływu wody oraz duże przewodnictwo cieplne  $K$ , po-  
 zatem usunięta jest możliwość powstania poduszek powietrza i pary, które, jak wiadomo, pociągają za sobą szkodliwe uderzenia wodne i parowe. Wady te powstają często w wypadku równoległego połączenia rur w ekonomizerach, gdy szybkość wody a więc jej temperatura i ciśnienie nie jest jednakowe.

Na rys. 4 i 5 wskazany jest wpływ wysokości i grubości żeber na wielkość przewodnictwa cieplnego  $K$  przy ekonomizerach kołowych i kwadratowych. Przez zwykłe porównanie wynika, że niezależnie od tych wymiarów, zawsze otrzymamy wartość dla  $K$  większą przy ekonomizerach żebrowych kwadratowych aniżeli przy żebrach kołowych.

M. R.

<sup>1)</sup> „Die Wärme“, Januar 1928.

<sup>2)</sup> Archiv für Wärmewirtschaft und Dampfkesselwesen Febr. 1929.

<sup>3)</sup> V. D. I. Bd. 70 1926 S.885.

## SPROSTOWANIA. \*)

### KILKA UWAG W SPRAWIE ELEKTRYFIKACJI POLSKI.

Do tabeli 6 drugiej części mojego artykułu w Technice Ciepłej z 1928 r., na stronie 197 wkraśnia się omyłka, której wykrycie zawdzięczam uwadze czytelnika pana Jezierskiego i szczerze mu za to dziękuję. Omyłka

polega na tem, że przez prędkość, przy obliczeniu kosztu przesyłania prądu dla składnika zależnego od kosztu przesyłania prądu od kosztu instalacji stale popelniano błąd przy mnożeniu na suwaku. Po przeliczeniu składnika na 12 1/2% tabela 6 będzie wyglądała następująco:

Tabela 6

m i a s t o	n a r a z i e				p o t e m			
	Mł kWh	koszt gr.			Mł kWh	koszt gr.		
		1	2	ogółem		1	2	ogółem
Warszawa	110	1,97	0,55	2,52	220	1,58	0,55	2,13
Łódź	110	0,82	0,45	1,27	220	0,62	0,45	1,07
Częstochowa	55	0,55	0,26	0,81	110	0,44	0,26	0,7
Radom	55	1,25	0,43	1,66	110	0,95	0,43	1,38
Kielce	55	0,85	0,34	1,19	110	0,7	0,34	1,04
ogółem	385	1,20	0,40	1,6	770	0,94	0,40	1,34

Koszt prądu podstawowego wyniesie odpowiednio dla Warszawy  $3,0 + 2,52 \cdot 1,15 = 5,87$  gr., a dla Łodzi 4,46 gr.

Wynik ten nie tyle obala mój wniosek ostateczny co do potrzeby przesyłania obciążenia podstawowego

z Zagłębia, co odsuwa cokolwiek jego termin i nakazuje poszukiwać rozwiązania nowego przez wybór tańszych konstrukcyj i materiałów dla linii i podstawcy.

J. Obrąpałski, inż.

\*) Sprostowanie zjawia się z opóźnieniem z powodów od autora niezależnych (przypr. Red.)



# Stowarzyszenie Dozoru Kotłów w Warszawie

jako bezstronna instytucja rzeczoznawcza:

## 1. przeprowadza

### **badania kotłów parowych i wszelkich urządzeń silnikowych**

w warunkach ich pracy, w celu usunięcia wad i braków albo w związku z przebudową lub z rozszerzeniem instalacji,

## 2. przeprowadza

### **badania całokształtu gospodarki cieplnej**

zakładów przemysłowych w celu opracowania projektów racjonalizacji gospodarki cieplnej,

## 3. przeprowadza

### **odbioru gwarancyjne**

wszelkich instalacji silnikowych, a więc kotłów parowych, turbin parowych, maszyn parowych, silników spalinowych,

## 4. przeprowadza we własnych pracowniach

### **badania wody i oznaczenia wartości opałowej paliw**

stałych, ciekłych i gazowych i udziela miarodajnych wskazówek w zakresie właściwego wyzyskania paliwa i wytwarzania ciepła energii cieplnej.

Stowarzyszenie posiada wszelkie precyzyjne przyrządy pomiarowe i korzysta ze współpracy zespołu wykwalifikowanych inżynierów specjalistów.

Zgłoszenia kierować należy do Biura Zarządu Stowarzyszenia:

**Warszawa, Chmielna 2, telefon 95-06 i 275-45**

**oraz do Biur Okręgowych Stowarzyszenia, a mianowicie:**

**Warszawa, Piękna, tel. 25-04.**

**Łódź, Piotrkowska 199, tel. 8-48.**

**Dąbrowa Górnicza, Sienkiewicza 7, tel. 1-01.**

**Kraków, Karmelicka 45, tel. 33-55.**

**Lwów, Św. Teresy 10, tel. 19-31.**

**Białystok, ul. Św. Rocha 4.**